

Měsíční zpráva

Počasí, voda a ovzduší v ČR

Duben 2026

Mgr. Šimon Kolář (Oddělení operativní služby)

Lenka Stašová (Oddělení všeobecné klimatologie)

Juraj Považan (Oddělení všeobecné klimatologie)

Petra Grüsserová (Oddělení hydrologických předpovědí)

Anna Lamačová, Radek Vlnas (Oddělení podzemních vod)

Hana Škáchová, Lucie Školoudová (Informační systém kvality ovzduší)

Obsah

Duben 2026 na území ČR	3
1 Synoptická situace	4
2 Klimatologické hodnocení	4
2.1 Teplota vzduchu	5
2.2 Srážky	7
2.3 Sluneční svit	9
3 Hydrologická situace	10
3.1 Povrchové vody	10
3.2 Podzemní vody	15
4 Kvalita ovzduší	23
4.1 Rozptylové podmínky	23
4.2 Suspendované částice PM ₁₀	24
4.3 Suspendované částice PM _{2,5}	27
4.4 Přízemní ozon O ₃	30
4.5 Ostatní látky	33
4.6 Index kvality ovzduší	35
4.7 Smogový a varovný regulační systém	36

DUBEN 2026 NA ÚZEMÍ ČR

Duben 2026 na území ČR hodnotíme jako teplotně normální a srážkově silně podnormální měsíc. Průměrná měsíční teplota vzduchu na území ČR (8,1 °C) byla o 0,4 °C nižší než normál 1991–2020. V řadě průměrných dubnových teplot od roku 1961 se duben 2026 řadí jako 24. až 29. nejteplejší. Vůbec nejvyšší dubnová průměrná teplota (12,7 °C) byla zaznamenána v dubnu 2018 a naopak nejnižší (4,6 °C) v roce 1980.

V průměru na našem území spadlo 13 mm srážek (33 % srážkového normálu 1991–2020). Průměrná délka slunečního svitu na území ČR byla tento měsíc 226,2 hodiny, což činí 121 % normálu 1991–2020.

V dubnu se průměrná denní teplota vzduchu na území ČR střídavě pohybovala pod a nad hodnotou normálu. Výrazně teplý byl 5. duben, kdy na 185 stanicích byla maximální denní teplota vzduchu 20 °C a více.

Letošní duben byl druhý nejsušší od roku 1961. Méně srážek na našem území spadlo pouze v dubnu 2007. Průměrný srážkový úhrn na území Čech byl 14 mm (38 % normálu), zatímco na území Moravy a Slezska jen 10 mm (24 % normálu). Nejvíce srážek spadlo na severozápadě republiky, zejména v horských oblastech. Nejvíce srážek spadlo ve dnech 19. a 20. dubna. Srážky v dubnu byly dešťové, pouze ojediněle sněhové. Na konci měsíce se již nikde nevyskytovala sněhová pokrývka.

Níže uvedené údaje jsou pouze předběžné a mohou se ještě měnit, neboť data nebyla kompletně verifikována. Z důvodů procesu zpracování dat jsou do měsíčních hodnocení zahrnuta pouze neverifikovaná data z automatizovaných stanic.

1 SYNOPTICKÁ SITUACE¹

V dubnu 2026 převažovala v prostoru Atlantik – Evropa meridionální cirkulace, která trvala krátce na konci první dubnové dekády, v polovině druhé dubnové dekády a dlouhodoběji pak po celou třetí dubnovou dekádu, kdy k nám po přední straně mohutné tlakové výše u Britských ostrovů proudil studený vzduch ze severních směrů. Velmi krátkodobě v délce tří dnů se v první polovině první dekády dubna vyskytla i zonální cirkulace spojená ve střední Evropě s přechodem frontálního systému od západu. V ostatních dubnových dnech se jednalo převážně o smíšenou cirkulaci.

Počasi ve střední Evropě v první dubnové dekádě nejprve ovlivnil nejprve výběžek vyššího tlaku vzduchu od západu, který zeslábl a za ním od západu přešel přes naše území frontální systém, spojený se studenou frontou. Za ní se k nám během druhé poloviny první dekády od severu dostával chladný vzduch, a to kolem mohutné tlakové výše nad Norskem, jehož příliv postupně zeslábl až začátkem druhé dubnové dekády, kdy nad naše území od západu postoupila rozpadající se okluzní fronta.

Druhá dubnová dekáda přinesla od západu za rozpadající se okluzní frontou i frontální systém, jehož teplá fronta postoupila přes naše území dále k severovýchodu. Za ní k nám kolem tlakové níže nad centrálním Středomořím proudil teplý vzduch od jihu, jehož příliv v polovině dekády ukončila od západu studená fronta. Za ní se nad střední Evropou udržovala nevýrazná oblast vyššího tlaku vzduchu, která v závěru dekády zeslábla a od západu přes naše území přešla studená fronta, za kterou k nám začal kolem mohutné tlakové výše nad Britskými ostrovy proudit studený a zpočátku i vlhký vzduch od severovýchodu.

Celé období třetí dubnové dekády přineslo do střední Evropy po přední straně mohutné tlakové výše u Britských ostrovů příliv studeného a zpočátku i vlhčího vzduchu. V závěru třetí dekády se tlaková výše přesunula přes Severní moře do střední Evropy. Klimatologické hodnocení

¹ proudění meridionální je proudění ve směru podél poledníků, tj. od severu k jihu nebo naopak
proudění zonální je proudění vzduchu podél rovnoběžek ve směru západ-východ
proudění vzduchu podél rovnoběžek ve směru východ-západ se většinou označuje jako východní (negativní) zonální proudění
<http://slovník.cmes.cz>

1.1 Teplota vzduchu

Letošní duben hodnotíme jako teplotně normální. Průměrná měsíční teplota vzduchu na území ČR (8,1 °C) byla o 0,4 °C nižší než normál 1991–2020. V řadě průměrných dubnových teplot od roku 1961 se duben 2026 řadí jako 24. až 29. nejteplejší a patří tedy k průměrným měsícům. Vůbec nejvyšší dubnová průměrná teplota (12,7 °C) byla zaznamenána v dubnu 2018 a naopak nejnižší (4,6 °C) v roce 1980.

V posledních deseti letech byl letošní duben pátý nejchladnější. Nejchladnější byl v tomto období duben v roce 2021 s průměrnou teplotou 5,4 °C. Naopak nejteplejší byl duben 2018 s průměrnou teplotou 12,7 °C.

V dubnu se průměrná denní teplota vzduchu na území ČR pohybovala střídavě pod a nad hodnotou normálu (Obr. 1.1.3).

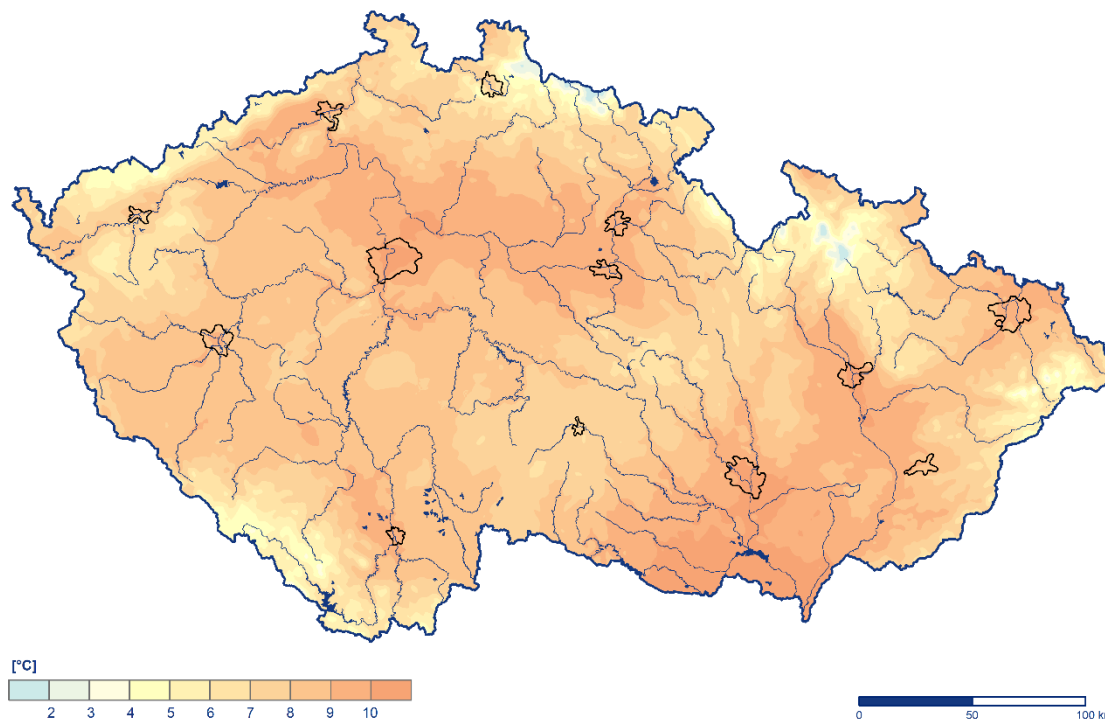
Teplá období jsem zaznamenali ve dnech 4. a 5. dubna, 13. až 18. dubna, kdy byla odchylka průměrné denní teploty vzduchu od normálu 1991–2020 více než 2,0 °C. Nejvyšší kladná odchylka průměrné denní teploty vzduchu od normálu byla zaznamenána dne 5. dubna (+7,4 °C). Celkem v 9 dnech byla na některých stanicích standardní staniční sítě ČHMÚ naměřena maximální denní teplota vzduchu 20 °C a více. Nejvíce to bylo dne 5. dubna (185 stanic). V tento den na 13 stanicích byla maximální denní teplota vzduchu 24 °C a více. Naopak chladná byla období 8. – 11., 20. – 22. a 26. – 30. dubna, kdy se průměrná denní teplota vzduchu na území ČR pohybovala více jak 2 °C pod normálem. V těchto dnech denní minima teploty vzduchu na našem území často klesla pod 0 °C. Nejvyšší záporná odchylka průměrné denní teploty vzduchu od normálu byla zaznamenána dne 29. dubna (–5,4 °C).

Nejvyšší hodnota maximální denní teploty vzduchu v tomto měsíci 24,9 °C byla zaznamenána 5. dubna na stanici Dyjákovice (okres Znojmo). Dosud historicky nejvyšší dubnová maximální denní teplota vzduchu 31,8 °C byla naměřena dne 29. dubna 2012 na stanicích Plzeň, Bolevec a Brandýs nad Labem-Stará Boleslav.

Nejnižší denní minimální teplota vzduchu –11,6 °C byla v tomto měsíci naměřena 10. dubna na stanici Orlické Záhoří, vodárna (okres Rychnov nad Kněžnou). Pokud uvažujeme i stanice mimo standardní síť ČHMÚ, nejnižší hodnota –13,3 °C byla zaznamenána ve stejný den na stanicích Orlické Záhoří 2 (okres Rychnov nad Kněžnou). Historicky nejnižší dubnová minimální denní teplota vzduchu –22,0 °C byla naměřena 1. dubna 2020 na stanici Kořenov, Jizerka (okres Jablonec nad Nisou). Pokud uvažujeme i stanice mimo standardní síť ČHMÚ, dosud nejnižší hodnota –24,8 °C byla zaznamenána 9. dubna 2003 na stanici Kvilda-Perla (okres Prachatice).

Průměrná měsíční teplota vzduchu v dubnu 2026

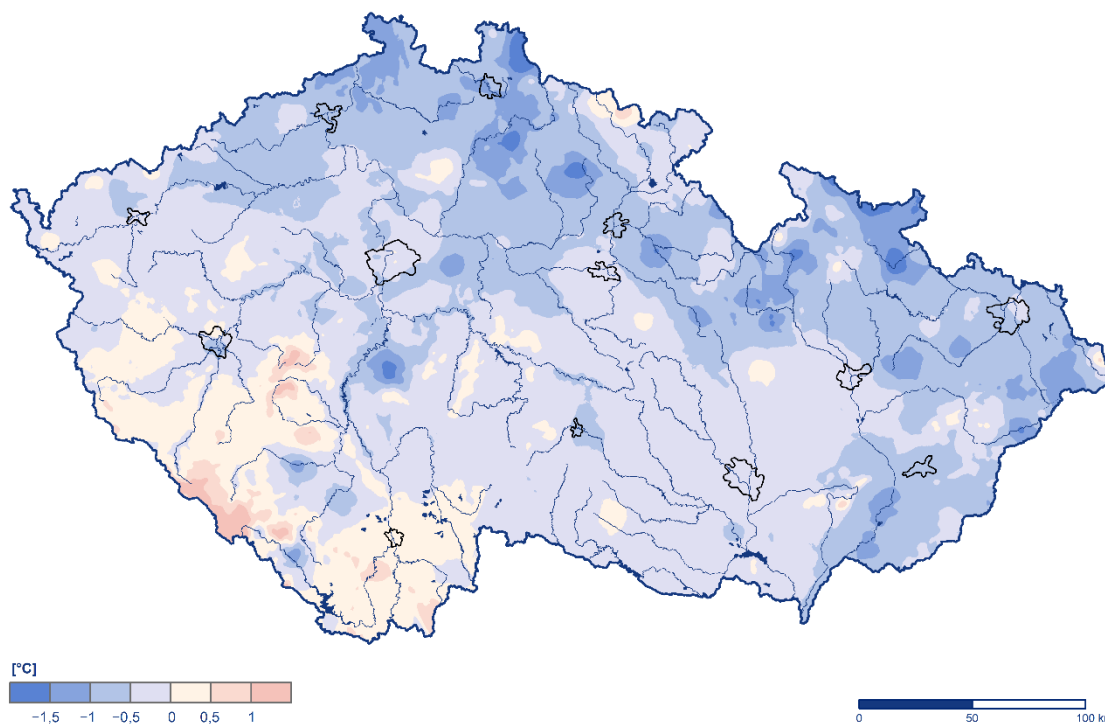
Český
hydrometeorologický
ústav



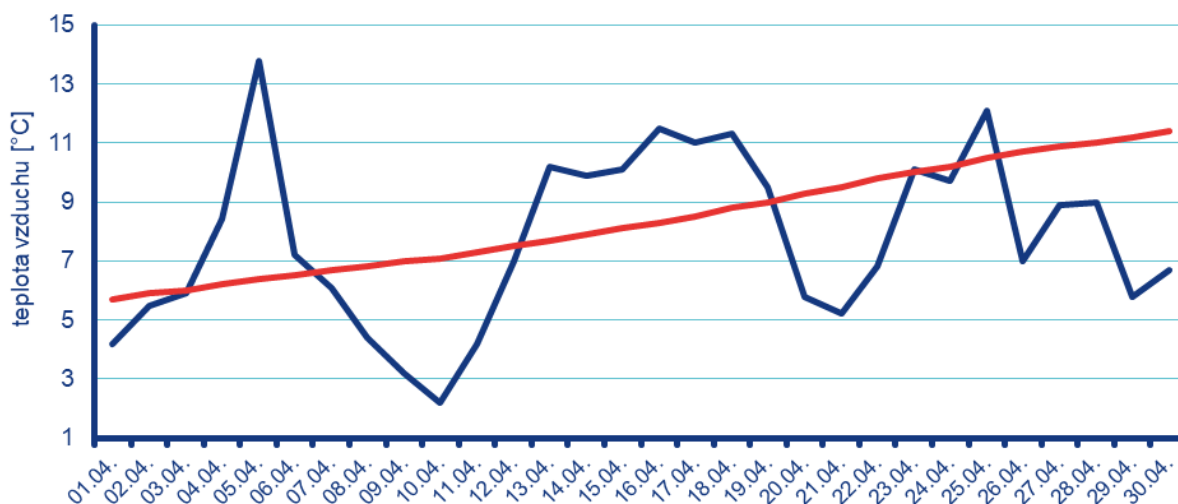
Obr. 1.1.1 Průměrná měsíční teplota vzduchu na území ČR v dubnu 2026

Odchylka průměrné měsíční teploty vzduchu v dubnu 2026 od normálu 1991–2020

Český
hydrometeorologický
ústav



Obr. 1.1.2 Odchylka průměrné měsíční teploty vzduchu od normálu 1991–2020 na území ČR v dubnu 2026



Obr. 1.1.3 Průběh průměrné denní teploty vzduchu na území ČR v dubnu 2026 ve srovnání s normálem v letech 1991–2020

1.2 Srážky

Srážkově měsíc duben hodnotíme jako silně podnormální. V průměru na našem území spadlo 13 mm srážek, což představuje 33 % normálu 1991–2020 (Obr. 1.2.1, Obr. 1.2.2). Jedná se tak o 2. nejsušší duben zaznamenaný na území ČR od roku 1961.

Průměrný srážkový úhrn na území Čech byl 14 mm (38 % normálu) a na území Moravy a Slezska 10 mm (24 % normálu). Nejvíce srážek v porovnání s normálem spadlo v krajích Karlovarském (72 % normálu), Libereckém (51 % normálu) a Ústeckém (48 % normálu), naopak nejméně v krajích Zlínském (20 % normálu), Jihomoravském a Moravskoslezském (shodně 21 % normálu). Na většině území Moravy a Slezska byl duben z pohledu srážek mimořádně podnormální.

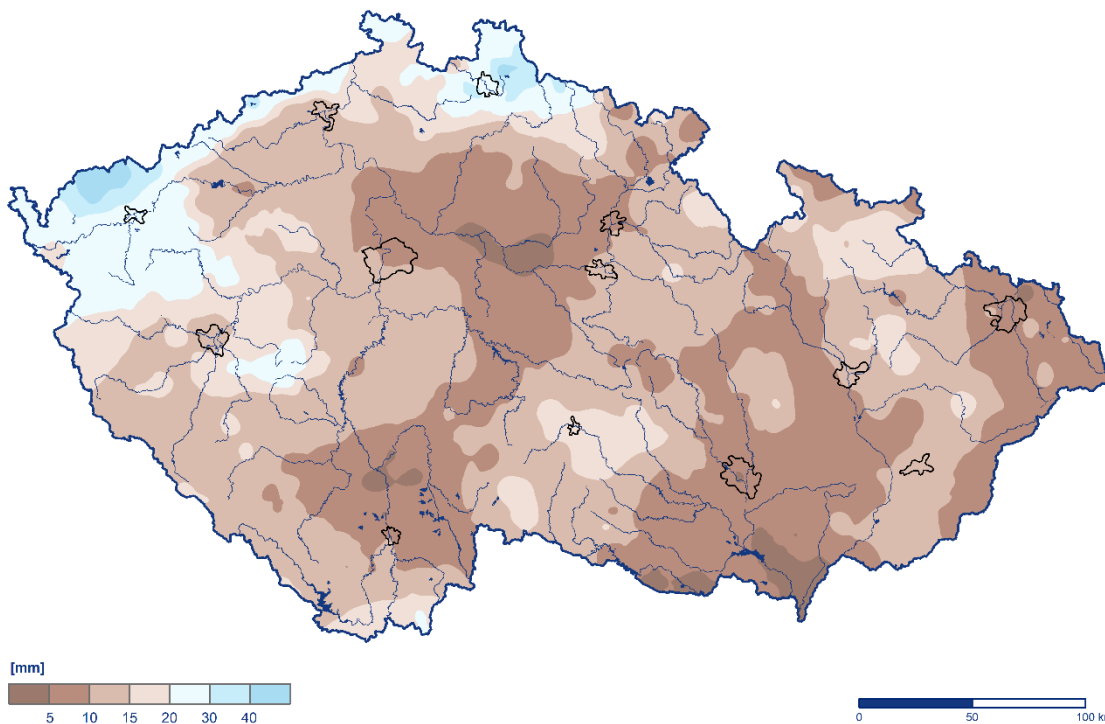
Měsíční srážkové úhrny se pohybovaly na našem území v širokém rozpětí. Zatímco některé stanice zaznamenaly za celý měsíc jen několik málo milimetrů srážek, na jiných stanicích zejména v Krušných a Jizerských horách, to bylo přes 40 mm srážek. Nejvíce srážek za měsíc duben (45,5 mm) zaznamenala stanice Šindelová (okres Sokolov).

V první dekádě dubna se srážky vyskytovaly, úhrny však byly velmi nízké. Ve druhé dekádě bylo srážek nejvíce. Poslední dekáda byla téměř beze srážek. Výraznější srážkové úhrny jsme však zaznamenali jen ve dvou dnech, a to 19. a 20. dubna. V těchto dnech se srážky vyskytovaly na většině území republiky. Srážky v dubnu byly dešťové, pouze ojediněle sněžilo. Sněhová pokrývka se na konci dubna již nikde nevyskytovala.

Nejvyšší denní úhrn srážek v tomto měsíci (21,0 mm) zaznamenala 19. dubna stanice Bedřichov, Nová louka (okres Jablonec nad Nisou). Nejvíce nového sněhu (7 cm) napadlo 20. dubna na stanici Praděd. Nejvyšší celková výška sněhové pokrývky (82 cm) byla naměřena 2. dubna na stanici Lysá hora.

Měsíční úhrn srážek v dubnu 2026

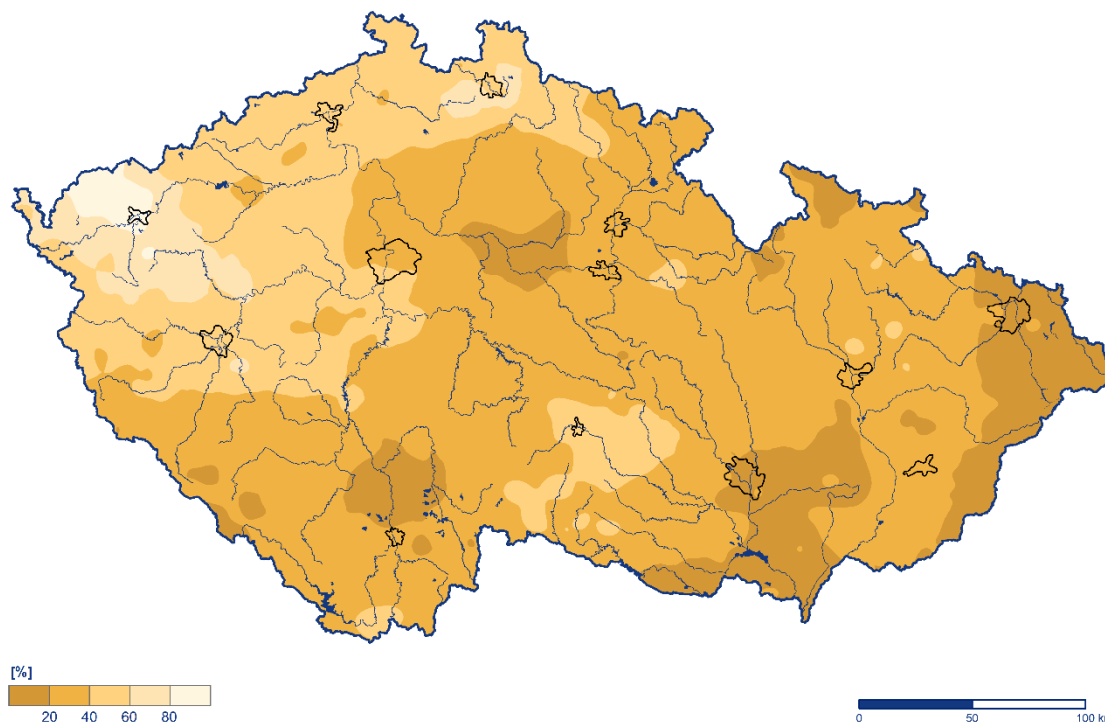
Český
hydrometeorologický
ústav



Obr. 1.2.1 Měsíční úhrn srážek na území ČR v dubnu 2026

Měsíční úhrn srážek v dubnu 2026 v procentech normálu 1991–2020

Český
hydrometeorologický
ústav



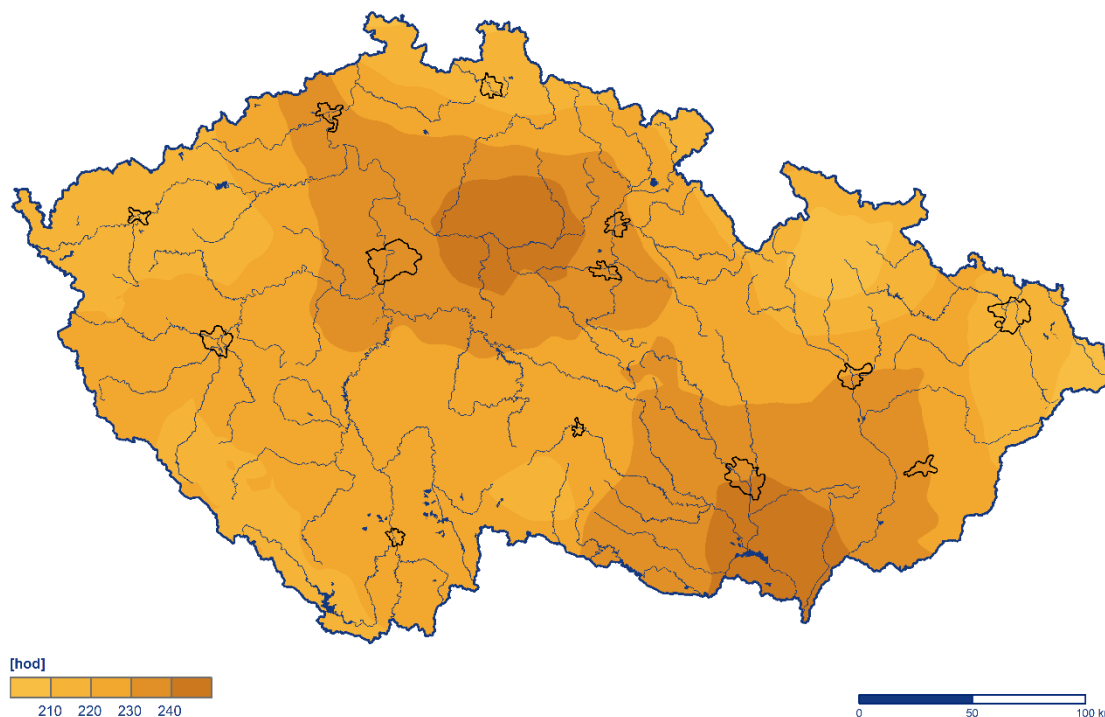
Obr. 1.2.2 Měsíční úhrn srážek na území ČR v dubnu 2026 v procentech normálu 1991–2020

1.3 Sluneční svit

Průměrná délka slunečního svitu na území ČR byla tento měsíc 226,2 hodiny, což činí 121 % normálu 1991–2020 (Obr. 1.3.1). Nejvíce hodin slunečního svitu bylo v krajích Jihomoravském (237,9 h), Středočeském a Praze (233,6 h) a Královéhradeckém (228,7 h). Naopak nejméně hodin slunečního svitu bylo v krajích Moravskoslezském (214,7 h), Karlovarském (215,7 h) a Libereckém (220,6 h).

Doba trvání slunečního svitu v dubnu 2026

Český
hydrometeorologický
ústav



Obr. 1.3.1 Měsíční úhrn doby trvání slunečního svitu na území ČR v dubnu 2026

2 HYDROLOGICKÁ SITUACE

2.1 Povrchové vody

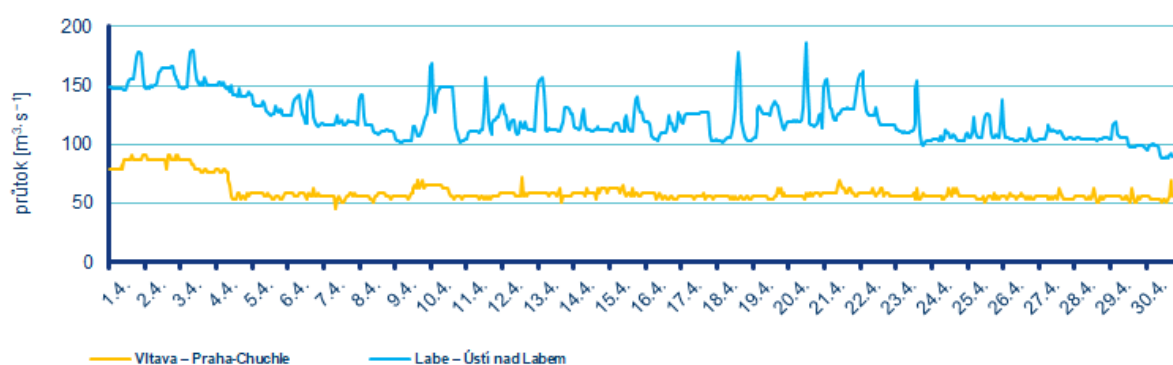
Odtokové poměry

Z odtokového hlediska byl duben převážně podprůměrným měsícem téměř ve všech hlavních povodích. Nejvíce vody oteklo Olší (58 % Q_{IV}), Odrou (45 % Q_{IV}), Dyjí (38 % Q_{IV}) a Vltavou (34 % Q_{IV}), naopak nejméně Labem (32 % Q_{IV}) a Moravou (31 % Q_{IV}); (Tab 3.1.1, Obr. 3.1.1, Obr. 3.1.2).

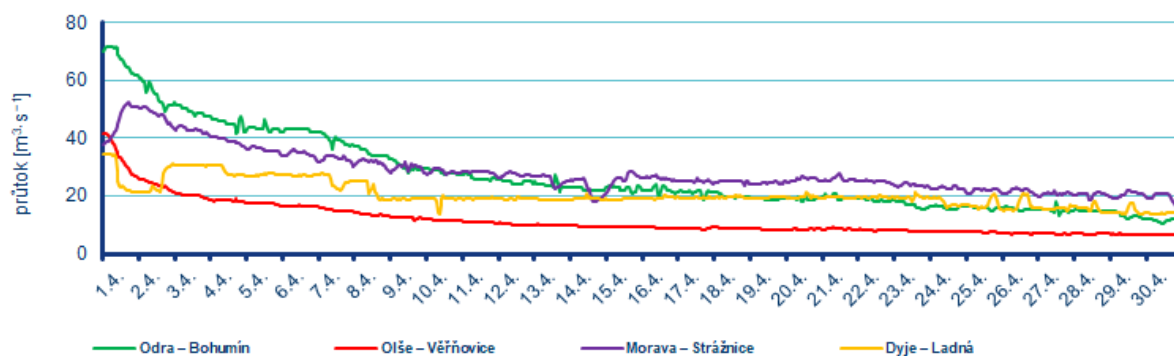
Tab 3.1.1 Průměrné měsíční průtoky v závěrových profilech hlavních povodí, duben 2026

Tok	Profil	Q_m [%]	Q [$m^3 \cdot s^{-1}$]
Vltava	Praha-Chuchle	34	180
Labe	Ústí nad Labem	32	380
Odra	Bohumín	45	61
Olše	Věřňovice	58	20
Morava	Strážnice	31	90
Dyje	Břeclav-Ladná	38	55

Průměrné měsíční průtoky se na většině sledovaných toků v dubnu nejčastěji pohybovaly v rozmezí od 15 do 60 % Q_{IV} (Obr. 3.1.3). Odtok z Vltavské kaskády ve Vraném nad Vltavou se na začátku dubna pohyboval od 40 do 70 $m^3 \cdot s^{-1}$, poté se od druhé dekády hodnota udržovala na 40 $m^3 \cdot s^{-1}$.



Obr. 3.1.1 Průběh průtoků v dubnu v závěrových profilech Vltavy a Labe

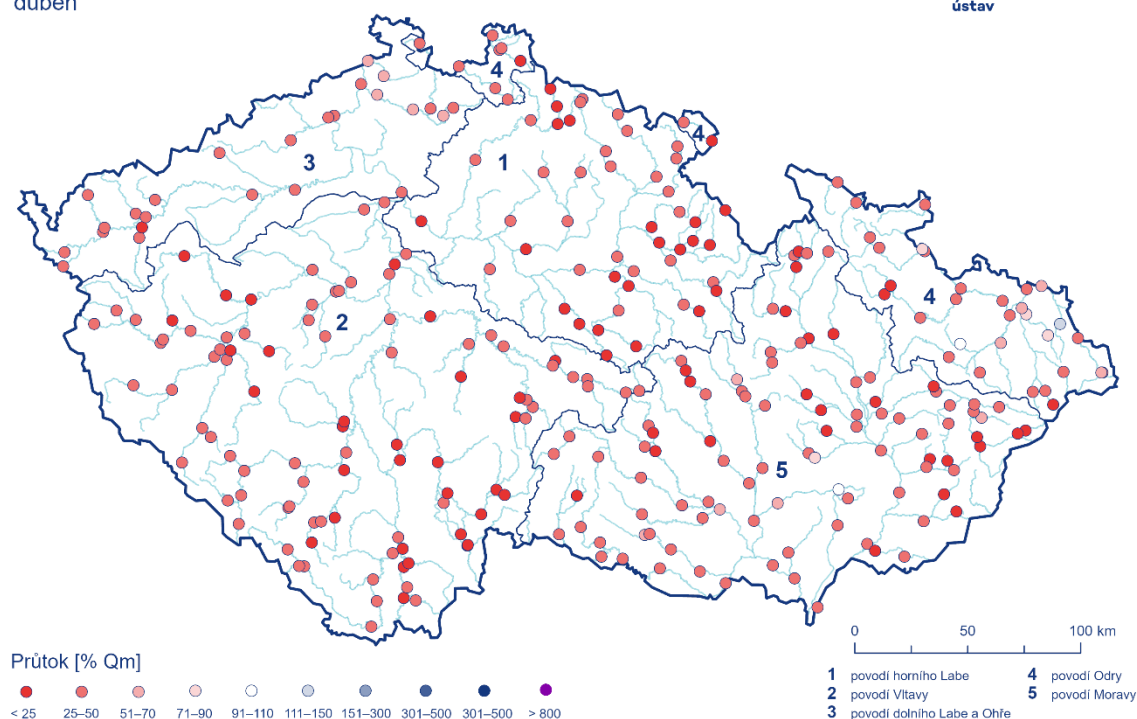


Obr. 3.1.2 Průběh průtoků v dubnu v závěrových profilech Odry, Olše, Moravy a Dyje

Průměrné měsíční průtoky

duben

Český
hydrometeorologický
ústav



Obr. 3.1.3 Průměrné měsíční průtoky na území ČR, duben 2026

Hladiny sledovaných toků byly v průběhu dubna převážně setrvalé nebo zvolna klesající, k mírnému kolísání došlo zpočátku měsíce zejména v povodí Odry. Průměrné vodnosti sledovaných toků se na začátku měsíce pohybovaly nejčastěji v rozmezí $Q_{270-90d}$ a na konci už byly vodnosti menší a to v rozmezí $Q_{330-180d}$. Průtoky se během měsíce postupně snižovaly z rozmezí od 25 do 60 % Q_{IV} na hodnoty 10–45 % Q_{IV} . Počet profilů s indikací hydrologického sucha se v průběhu dubna postupně navyšoval.

Tab 3.1.2 Přehled průměrných, max. a min. průtoků (stavů), duben 2026

Tok	Profil	\bar{Q}	Q_m	Q_m	min. H	min. Q	max. H	max. Q	DD min.	DD max.
		$m^3 \cdot s^{-1}$	–	%	cm	$m^3 \cdot s^{-1}$	cm	$m^3 \cdot s^{-1}$	–	–
Orlice	Týniště nad Orlicí	5,10	24,0	21	48	3,3	77	9,6	26	14
Labe	Přelouč	21,0	80,0	26	27	12	74	41	30	27
Cidlina	Sány	0,91	4,60	20	11	0,25	35	1,8	27	1
Jizera	Bakov nad Jizerou	11,0	39,0	28	121	4,7	191	22	29	18
Labe	Kostelec nad Labem	33,0	140	24	0	5,1	416	65	22	1
Vltava	Vyšší Brod	7,00	17,0	41	50	4,6	107	22	30	3
Malše	Roudné	1,60	8,80	19	2	0,78	83	16	29	22
Vltava	České Budějovice	11,0	34,0	33	90	5,59	114	37,6	27	5
Lužnice	Bechyně	5,40	29,0	19	76	1,9	121	14	15	4
Otava	Písek	11,0	36,0	30	37	4	82	18	29	6
Sázava	Nespeky	6,30	26,0	24	37	2,6	62	9	30	1
Berounka	Plzeň-Bílá Hora	6,50	20,0	32	89	4,5	108	9,7	26	1
Berounka	Beroun	12,0	40,0	30	69	6,5	93	17	29	2
Vltava	Praha-Chuchle	60,0	180	34	43	46	59	99	7	2
Ohře	Karlovy Vary	9,70	31,0	32	40	6,5	54	13	28	1
Ohře	Louny	18,0	45,0	40	181	14	196	20	29	13
Labe	Ústí nad Labem	120	380	32	134	89	198	190	30	18
Bílina	Trmice	2,20	8,00	28	91	1,6	102	3,3	26	6
Ploučnice	Benešov nad Ploučnicí	4,60	8,20	56	79	2,9	92	8,1	15	6
Labe	Děčín	130	400	31	98	95	156	180	30	2
Odra	Svinov	7,90	17,0	46	107	2,7	181	32	26	1
Opava	Děhylov	7,90	23,0	34	79	3	111	13	30	1
Ostravice	Ostrava	9,40	19,0	51	61	3,4	132	29	29	1
Odra	Bohumín	27,0	61,0	45	149	10	225	72	30	1
Olše	Věřňovice	12,0	20,0	58	65	6,5	143	42	29	1
Morava	Olomouc	12,0	43,0	27	93	8,6	111	15	29	1
Bečva	Dluhonice	8,90	25,0	36	110	2,6	168	34	19	1
Morava	Strážnice	28,0	90,0	31	86	14	180	52	30	1
Svratka	Židlochovice	8,50	21,0	41	58	6,6	80	14	30	1
Jihlava	Ivančice	7,50	15,0	50	98	1,6	156	19	29	19
Dyje	Ladná	21,0	55,0	38	16	13	58	35	10	1

Poznámka: \bar{Q} ...Průměrný průtok, Q_m ...Dlouhodobý průměrný průtok příslušného měsíce, %
 Q_m ...Procenta měsíčního průměru H...Stav, Q...Průtok, DD...Den v měsíci

Poznámka: SPA...Stupeň povodňové aktivity

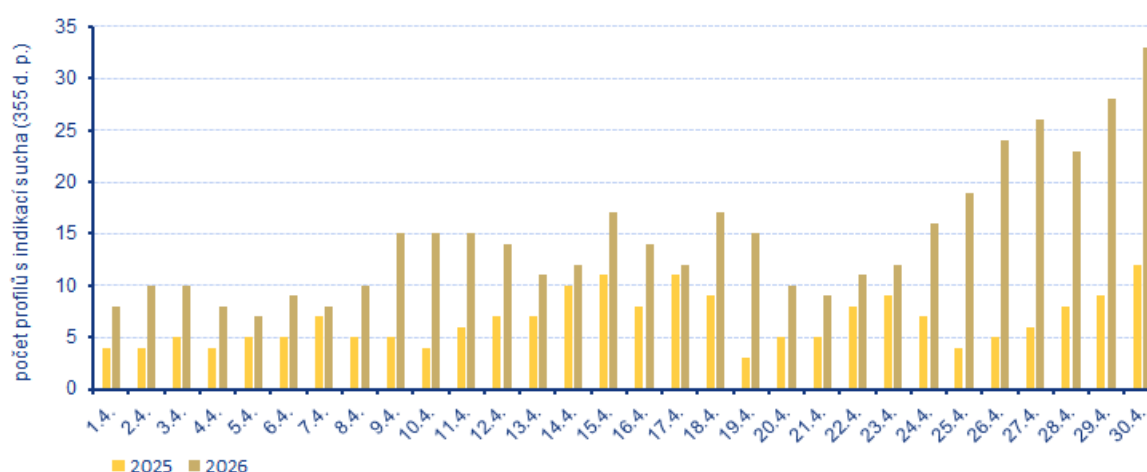
Sucho na území ČR

Hlásné profily (kategorie A + B) s průtoky menšími než 25 % Q_{IV} se v průběhu měsíce dubna vyskytovaly hojně a do konce měsíce se počet významně navýšil. Největší počet se vyskytoval na konci měsíce v povodí Vltavy, horního Labe a Moravy po Dyji (Tab 3.1.3 Procentuální vývoj počtu hlásných profilů (kategorie A + B) v hlavních povodích s průměrnými týdenními průtoky menšími než 25 % Q_m , duben 2026).

Počet operativních hydrologických profilů s indikací hydrologického sucha (Q_{355d}) byl v průběhu měsíce dubna velmi nízký a pohyboval se na začátku měsíce v rozmezí 0 až 1. V průběhu dubna se počet začal navyšovat a na konci měsíce se dostal až na 12 profilů. V porovnání s loňským rokem je měsíc duben výrazně sušší (Obr. 3.1.4).

Tab 3.1.3 Procentuální vývoj počtu hlásných profilů (kategorie A + B) v hlavních povodích s průměrnými týdenními průtoky menšími než 25 % Q_m , duben 2026

Povodí	Q < 25 % Q_m				
	T14 (30.3. – 5. 4.)	T15 (6. – 12. 4.)	T16 (13. – 19. 4.)	T17 (20. – 26. 4.)	T18 (27.4. – 3. 5.)
Horní Labe	20	25	25	29	40
Vltava	16	31	36	44	76
Dolní Labe a Ohře	1	3	1	2	10
Odra	2	5	9	14	27
Morava po Dyji	7	14	22	33	42
Dyje	2	5	8	11	29
Celkem	48	48	101	133	224



Obr. 3.1.4 Vývoj počtu operativních hydrologických profilů s indikací hydrologického sucha (Q_{355d}), duben 2025 a 2026

Nádrže

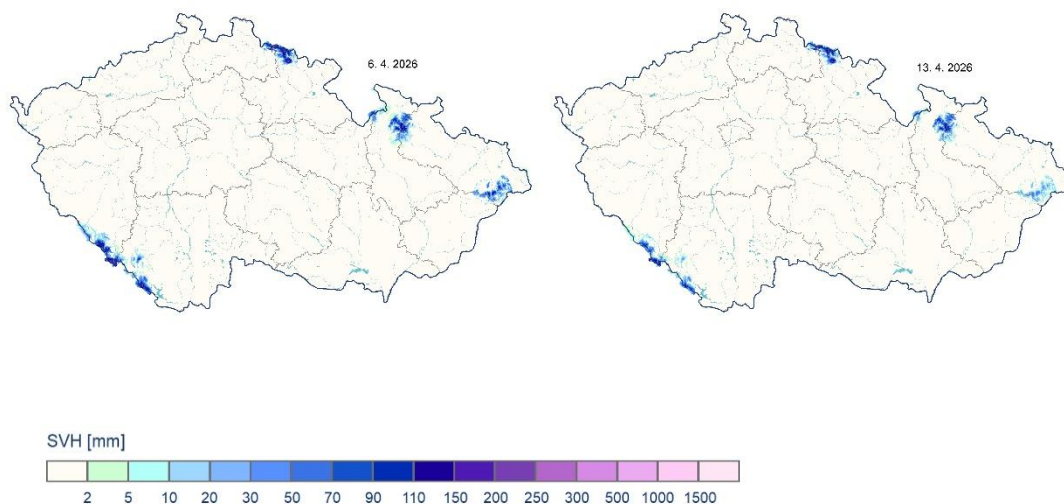
U většiny sledovaných nádrží byly vodní hladiny během dubna převážně setrvalé, případně mírně rozkolísané či na poklesu. Celkové změny v zaplnění zásobních prostorů se pohybovaly nejčastěji mezi -6 až 0 %. Největší průměrné poklesy zaznamenaly vodní nádrže Skalka (-15 %), Morávka (-10 %), Dalešice (-8 %) a Vír (-7 %), naopak největší průměrný vzestup byl na vodních nádržích Hněvkovice (+2 %), Horka (+2 %) a Hracholusky (+3 %).

Většina nádrží byla na konci dubna naplněna minimálně na 75 %. Méně naplněné byly pouze nádrže Lipno (67 %), Stanovice (70 %) a Přísečnice (74 %).

Zásoba vody v nádržích Vltavské kaskády nad dispečerským minimem byla na začátku měsíce na hodnotě 186,11 mil. m³ (k 6.4.) poté výrazně postupně klesala až na hodnotu 20,76 mil. m³ (k 4. 5.).

Sníh

Na začátku dubna sněžilo na horách cca od výšky 800 m n. m. Na moravských horách napadlo nejčastěji mezi 10 a 40 cm nového sněhu. V Čechách napadlo na horách nejčastěji mezi 5 a 10 cm sněhu. Zajímavostí je, že 2. 4. leželo na Lysé hoře v Beskydech 82 cm sněhu, což je nejvíce za celou zimní sezonu 2025/2026, jednalo se převážně o nový prachový sníh. V pondělí 6. 4. ležela souvislá sněhová pokrývka pouze na hřebenech našich nejvyšších hor. Na hřebenech Krkonoš a Šumavy to bylo nejčastěji 30 až 60 cm a na hřebenech Jeseníků a Králického Sněžníků, a také Beskyd leželo 20 až 50 cm. Jinde na horách už ležela pouze nesouvislá pokrývka nebo zbytky sněhu, zejména v lese nebo na severních svazích. V dalším průběhu dubna s ojedinělými přestávkami sněhu ubývalo. Na konci dubna 27. 4. ráno už ležela souvislá sněhová pokrývka pouze místy na hřebenech Krkonoš. Nejčastěji zde leželo od 10 do 20 cm sněhu, ale na mnoha místech už je i na hřebenech Krkonoš pouze nesouvislá pokrývka, případně zbytky sněhu, tedy podobně jako na hřebenech našich ostatních nejvyšších hor.



Obr. 3.1.5 Přehled rozložení vodní hodnoty sněhu (SVH) na území ČR, duben 2026

Tab 3.1.4 Zásoba vody ve sněhové pokrývce, duben 2026

	6. 4.	13. 4.	20. 4.
Objem [mld. m ³]	0,071	0,047	0,095
Odtoková výška [mm]	0,8	0,6	1,2

2.2 Podzemní vody

Mělké vrty

Hladina podzemní vody v mělkých vrtech byla v dubnu na území ČR celkově silně podnormální (Tab. 2.2.1). Mimořádně podnormální hladina převládala v dílčích povodích Horního a středního Labe, Ohře, Dolního Labe a ostatních přítoků Labe a Lužické Nisy a ostatních přítoků Odry. Silně podnormální hladina byla zaznamenána v dílčích povodích Horní Vltavy, Berounky, Dolní Vltavy a Moravy a přítoků Váhu. V dílčím povodí Dyje byla hladina mírně podnormální a v dílčím povodí Horní Odry normální (Tab. 2.2.1, Obr. 2.2.1). Ve skupinách povodí byl mimořádně podnormální stav v povodích horního Labe, Orlice, středního Labe pod Doubravu, Jizery, Sázavy, dolního Labe a Ploučnice a Smědé, Lužické Nisy a Mandavy. Největší podíl mělkých vrtů se silně nebo mimořádně podnormální hladinou se vyskytoval v dílčím povodí Lužické Nisy a ostatních přítoků Odry (100 %) a v dílčím povodí Ohře, Dolního Labe a ostatních přítoků Labe (82 %). Mělké vrty se silně nebo mimořádně nadnormální hladinou se vyskytovaly pouze ojediněle, nejčastěji v dílčím povodí Moravy a přítoků Váhu (2 %, Tab. 2.2.2).

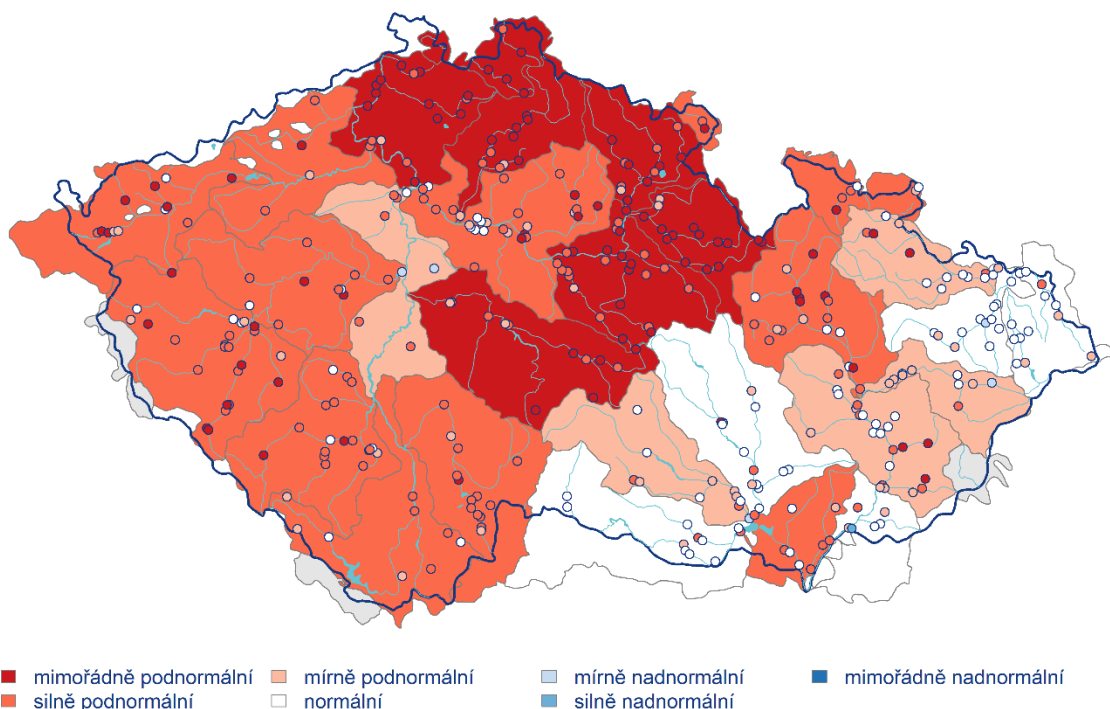
Ve srovnání s předchozím měsícem hladina celkově poklesla a stav se zhoršil z mírně podnormálního na silně podnormální. Podíl vrtů se silně nebo mimořádně podnormální hladinou se zvýšil na 59 %, zatímco podíl mělkých vrtů s normální hladinou (24 %) se snížil (Tab. 2.2.2). Vrty se silně nebo mimořádně nadnormální hladinou se v dubnu nevyskytovaly. Stagnace až mírný pokles hladiny byl zaznamenán u 41 % mělkých vrtů a stagnace až mírný vzestup u 9 % vrtů. Pokles nebo velký pokles hladiny nastal u 49 % vrtů (31 %, resp. 18 %) a vzestup nebo velký vzestup u 1 % vrtů (Tab. 2.2.3). K nejvýraznějšímu zhoršení došlo v dílčích povodích Horního a středního Labe, Ohře, Dolního Labe a ostatních přítoků Labe a Lužické Nisy a ostatních přítoků Odry, kde se stav zhoršil z mírně podnormálního na mimořádně podnormální. V dílčím povodí Horní Vltavy se stav zhoršil z normálního na silně podnormální (Tab. 2.2.1).

Meziročně se stav hladiny v mělkých vrtech v dubnu celkově zhoršil ze silně podnormálního na silně podnormální (Tab. 2.2.1). Pokles nebo velký pokles hladiny byl zaznamenán u 23 % mělkých vrtů, zatímco vzestup nebo velký vzestup u 5 % vrtů (Tab. 2.2.4). Nejvýraznější meziroční pokles byl zaznamenán v dílčím povodí Horní Vltavy (pokles nebo velký pokles u 49 % vrtů) a v dílčím povodí Horního a středního Labe (29 % vrtů), kde se stav meziročně zhoršil z mírně podnormálního na silně podnormální, resp. ze silně podnormálního na mimořádně podnormální. Naopak v dílčím povodí Horní Odry hladina meziročně vzrostla nebo výrazně vzrostla u 22 % vrtů a stav se zlepšil z mírně podnormálního na normální (Tab. 2.2.1, Tab. 2.2.4)

Stav hladiny podzemní vody v mělkých vrtech

Duben 2026



Český
hydrometeorologický
ústav


Obr. 2.2.1 Stav hladiny podzemní vody v mělkých vrtech v dubnu 2026 ve skupinách povodí, vztaheno k referenčnímu období 1991–2020.

Tab. 2.2.1 Pravděpodobnost překročení úrovně hladiny v mělkých vrtech v dílčích povodích. KP – křivka překročení (%), HLS – Horní a střední Labe, HVL – Horní Vltava, BER – Berounka, DVL – Dolní Vltava, ODL – Ohře a Dolní Labe, HOD – Horní Odra, LNI – Lužická Nisa, MOR – Morava, DYJ – Dyje. Červená barevná škála odpovídá mimořádně, silně a mírně podnormálnímu stavu. Modrá barevná škála představuje mírně, silně, mimořádně nadnormální stav.

Povodí/ Zařazení úrovně hladiny na KP v %	HSL	HVL	BER	DVL	ODL	HOD	LNI	MOR	DYJ	ČR
IV 2026	97	94	95	94	98	74	98	87	77	94
III 2026	85	74	87	82	94	76	84	79	62	85
IV 2025	94	79	83	88	97	85	96	78	69	89
<95,100>	<85,95)	<75,85)	(25,75)	(15,25>	(5,15>	<5,0>				

Tab. 2.2.2 Stav hladiny v mělkých vrtech v % počtu objektů

Povodí	Mimořádně podnormální hladina	Silně podnormální hladina	Mírně podnormální hladina	Normální hladina	Mírně nadnormální hladina	Silně nadnormální hladina	Mimořádně nadnormální hladina
Horní a střední Labe	44	37	12	7	0	0	0
Horní Vltava	7	66	15	12	0	0	0
Berounka	27	48	9	15	0	0	0
Dolní Vltava	25	50	10	5	10	0	0
Ohře a Dolní Labe	56	26	12	6	0	0	0
Horní Odra	7	11	18	62	2	0	0
Lužická Nisa	71	29	0	0	0	0	0
Morava	16	24	26	31	2	2	0
Dyje	2	23	18	55	2	0	0
ČR	25	34	15	24	1	0	0

Tab. 2.2.3 Porovnání hladiny v mělkých vrtech s předchozím měsícem v % počtu objektů

Povodí	Velký pokles	Pokles	Stagnace až mírný pokles	Stagnace až mírný vzestup	Vzestup	Velký vzestup
Horní a střední Labe	26	41	30	3	0	0
Horní Vltava	46	27	22	5	0	0
Berounka	18	52	30	0	0	0
Dolní Vltava	35	30	30	5	0	0
Ohře a Dolní Labe	18	41	41	0	0	0
Horní Odra	0	2	73	24	0	0
Lužická Nisa	43	43	14	0	0	0
Morava	5	28	52	12	3	0
Dyje	2	25	50	23	0	0
ČR	18	31	41	9	1	0

Tab. 2.2.4 Porovnání hladiny v mělkých vrtech se stejným měsícem předchozího roku v % počtu objektů

Povodí	Velký pokles	Pokles	Stagnace až mírný pokles	Stagnace až mírný vzestup	Vzestup	Velký vzestup
Horní a střední Labe	6	23	38	31	2	0
Horní Vltava	27	22	39	12	0	0
Berounka	12	30	45	12	0	0
Dolní Vltava	5	15	45	35	0	0
Ohře a Dolní Labe	0	9	59	29	3	0
Horní Odra	0	4	18	56	20	2
Lužická Nisa	0	29	57	14	0	0
Morava	3	14	57	21	2	3
Dyje	0	16	52	25	7	0
ČR	6	17	44	28	4	1

Prameny

Vydatnost pramenů byla v dubnu na území ČR celkově mimořádně podnormální. Mimořádně podnormální vydatnost byla zaznamenána v dílčích povodích Horního a středního Labe, Horní Vltavy, Berounky, Ohře, Dolního Labe a ostatních přítoků Labe a Lužické Nisy a ostatních přítoků Odry. Silně podnormální vydatnost byla dosažena v dílčích povodích Dolní Vltavy, Moravy a přítoků Váhu a Dyje. V dílčím povodí Horní Odry byla vydatnost mírně podnormální (Tab. 2.2.5). Ve skupinách povodí nastal mimořádně podnormální stav v povodích horního Labe, Orlice, středního Labe pod Doubravu, Jizery, Otavy, horní Vltavy, dolní Berounky, horní Ohře, dolní Ohře a Bíliny, dolního Labe a Ploučnice a Stěnavy (Obr. 2.2.2). Největší podíl pramenů se silně nebo mimořádně podnormální vydatností byl zaznamenán v dílčím povodí Horního a středního Labe (88 %) a v dílčím povodí Ohře, Dolního Labe a ostatních přítoků Labe (80 %). Prameny se silně nebo mimořádně nadnormální vydatností se vyskytovaly pouze ojediněle, a to v dílčím povodí Horní Odry (10 %, Tab. 2.2.6).

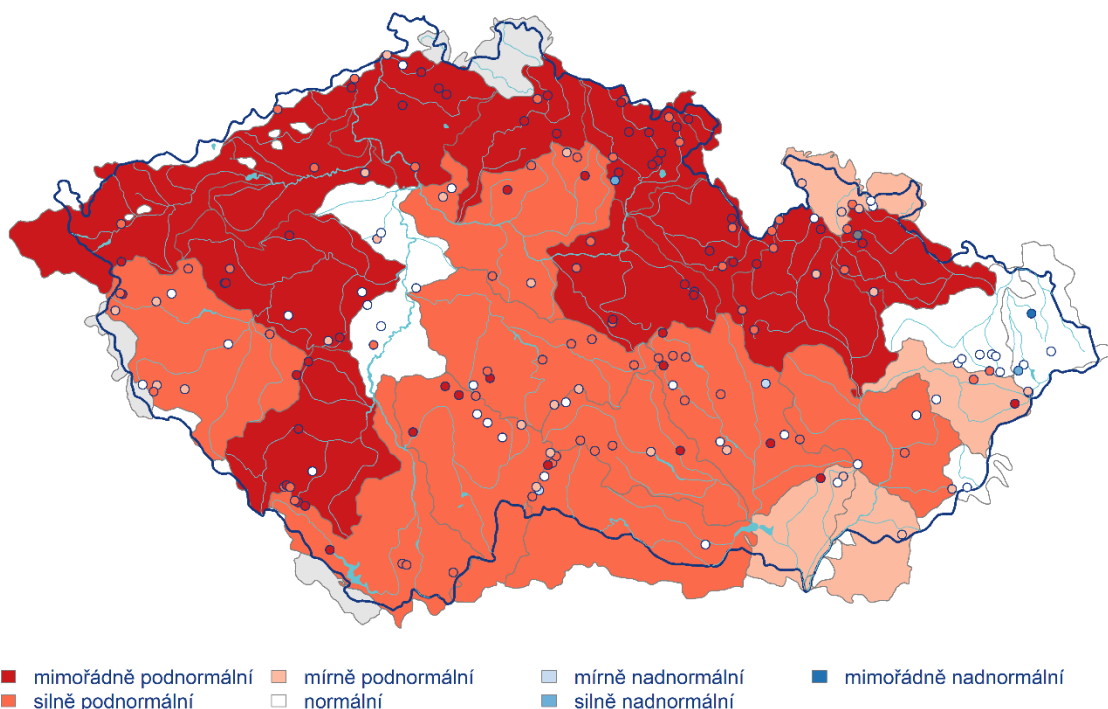
Ve srovnání s předchozím měsícem se vydatnost pramenů celkově zmenšila a stav se zhoršil ze silně podnormálního na mimořádně podnormální. Podíl pramenů se silně nebo mimořádně podnormální vydatností se zvýšil na 62 %, podíl pramenů s normální vydatností se snížil na 21 % a podíl pramenů se silně nebo mimořádně nadnormální vydatností se snížil na 2 % (Tab. 2.2.6). Stagnace až mírné zmenšení vydatnosti bylo zaznamenáno u 53 % pramenů a stagnace až mírné zvětšení u 18 % pramenů. Zmenšení nebo velké zmenšení vydatnosti bylo zaznamenáno u 27 % pramenů (14 %, resp. 13 %), zatímco zvětšení nebo velké zvětšení nastalo u 2 % pramenů (Tab. 2.2.7). K nejvýraznějšímu zhoršení došlo v dílčím povodí Horní Vltavy, kde se stav zhoršil z normálního na mimořádně podnormální. Výrazné zhoršení nastalo rovněž v dílčích povodích Dolní Vltavy a Dyje, kde se stav zhoršil z normálního na silně podnormální (Tab. 2.2.5, Tab. 2.2.7).

Meziročně se vydatnost pramenů v dubnu celkově zmenšila a stav se zhoršil ze silně podnormálního na mimořádně podnormální (Tab. 2.2.5). Zmenšení nebo velké zmenšení vydatnosti bylo zaznamenáno u 14 % pramenů, zatímco zvětšení nebo velké zvětšení u 3 % pramenů (Tab. 2.2.8). K mírnému meziročnímu zhoršení došlo v dílčím povodí Horní Vltavy (zmenšení nebo velké zmenšení vydatnosti u 34 % pramenů) a Berounky (24 % pramenů), kde se stav zhoršil ze silně podnormálního na mimořádně podnormální. K mírnému zhoršení došlo rovněž v dílčím povodí Dolní Vltavy (zmenšení nebo velké zmenšení u 33 % pramenů), kde se stav zhoršil z mírně podnormálního na silně podnormální. Naopak k mírnému meziročnímu zlepšení došlo v dílčím povodí Horní Odry (zvětšení nebo velké zvětšení u 23 % pramenů), kde se stav zlepšil ze silně podnormálního na mírně podnormální (Tab. 2.2.5, Tab. 2.2.8).

Stav vydatnosti pramenů

Duben 2026



Český
hydrometeorologický
ústav


Obr. 2.2.2 Stav vydatnosti pramenů v dubnu 2026 ve skupinách povodí, vztaheno k referenčnímu období 1991–2020.

Tab. 2.2.5 Pravděpodobnost překročení úrovně vydatnosti pramenů v dílčích povodích. KP – křivka překročení (%), HLS – Horní a střední Labe, HVL – Horní Vltava, BER – Berounka, DVL – Dolní Vltava, ODL – Ohře a Dolní Labe, HOD – Horní Odra, LNI – Lužická Nisa, MOR – Morava, DYJ – Dyje. Červená barevná škála odpovídá mimořádně, silně a mírně podnormálnímu stavu. Modrá barevná škála představuje mírně, silně, mimořádně nadnormální stav.

Povodí/ Zařazení úrovně vydatnosti na KP v %	HSL	HVL	BER	DVL	ODL	HOD	LNI	MOR	DYJ	ČR
IV 2026	97	96	96	94	100	78	100	94	91	96
III 2026	89	74	90	72	100	60	99	91	61	89
IV 2025	96	88	90	79	100	90	98	91	91	94
<95,100>	<85,95)	<75,85)	(25,75)	(15,25>	(5,15>	<5,0>				

Tab. 2.2.6 Vydatnost pramenů v % počtu objektů

Povodí	Mimořádně podnormální vydatnost	Silně podnormální vydatnost	Mírně podnormální vydatnost	Normální vydatnost	Mírně nadnormální vydatnost	Silně nadnormální vydatnost	Mimořádně nadnormální vydatnost
Horní a střední Labe	50	38	8	2	0	2	0
Horní Vltava	43	29	10	19	0	0	0
Berounka	29	24	24	24	0	0	0
Dolní Vltava	7	47	13	33	0	0	0
Ohře a Dolní Labe	40	40	13	7	0	0	0
Horní Odra	5	18	23	45	0	5	5
Lužická Nisa	100	0	0	0	0	0	0
Morava	18	35	18	29	0	0	0
Dyje	19	34	16	25	6	0	0
ČR	29	33	15	21	1	1	1

Tab. 2.2.7 Porovnání vydatnosti pramenů s předchozím měsícem v % počtu objektů

Povodí	Velké zmenšení	Zmenšení	Stagnace až mírné zmenšení	Stagnace až mírné zvětšení	Zvětšení	Velké zvětšení
Horní a střední Labe	15	20	55	10	0	0
Horní Vltava	24	24	48	5	0	0
Berounka	5	14	71	10	0	0
Dolní Vltava	7	20	67	7	0	0
Ohře a Dolní Labe	13	0	73	13	0	0
Horní Odra	0	0	43	48	10	0
Lužická Nisa	0	0	100	0	0	0
Morava	6	12	41	29	12	0
Dyje	25	12	38	25	0	0
ČR	13	14	53	18	2	0

Tab. 2.2.8 Porovnání vydatnosti pramenů se stejným měsícem předchozího roku v % počtu objektů

Povodí	Velké zmenšení	Zmenšení	Stagnace až mírné zmenšení	Stagnace až mírné zvětšení	Zvětšení	Velké zvětšení
Horní a střední Labe	2	5	52	40	0	0
Horní Vltava	5	29	38	29	0	0
Berounka	10	14	52	24	0	0
Dolní Vltava	13	20	47	20	0	0
Ohře a Dolní Labe	0	13	53	33	0	0
Horní Odra	0	0	23	55	18	5
Lužická Nisa	0	100	0	0	0	0
Morava	6	6	41	47	0	0
Dyje	0	3	53	44	0	0
ČR	4	10	46	38	2	1

Hluboké vrty

Oproti minulému měsíci se stav hlubokých vrtů dále výrazně zhoršil. Duben 2026 byl z hlediska celé ČR nejen nejhorším dubnem, ale také měsícem s vůbec nejhorším stavem (největší zápornou odchylkou od měsíčního normálu) od počátku hodnocené řady, tedy od roku 1991. Hluboké vrty přitom monitorují oblasti s dominantním podílem podzemních vod na zásobování pitnou vodou. Pro srovnání, druhý nejhorší stav hlubokých vrtů v ČR byl v červenci 2019, následuje duben a květen 2020. V Čechách byl horší jen červenec 2025, teď ale teprve sezóna začíná.

Hladina podzemní vody v hlubokých vrtech² byla v dubnu mimořádně podnormální v části severočeské křídly (skupina hg rajonů 4B, 4C, 4D), permokarbonu středních a západních Čech (8A, 8B), jihočeských pánví (2A, 2D), v podkrušnohorských pánvích (1A, 1B), v části východočeské křídly (5A) a cenomanu východočeské křídly (7B, 7C). Silně podnormální byla hladina v části jihočeských pánví (2C), východočeské křídly (5B, 5C), v permokarbonu východočeské křídly (9A, 9B) a v části cenomanu severočeské křídly (6A). Mírně podnormální byla hladina v části jihočeských pánví (2B), permokarbonu středních a západních Čech (8C), moravského terciéru (3D, 3E) a cenomanu severočeské křídly (6E). Silně nadnormální byla hladina v části moravského terciéru (3B). Silně a mimořádně nadnormální byla stále hladina v částech cenomanu severočeské křídly (6B a 6C), které mají výrazně víceletý režim. V ostatních skupinách hg rajonů byla hladina normální (Obr. 2.2.3).

Stav hlubokých vrtů se výrazně zhoršil napříč celou ČR. Zhoršil se stav části severočeské křídly (4D), jihočeských pánví (2A, 2B, 2D), podkrušnohorských pánvích (1B), celé východočeské křídly (5A, z normálního na silně podnormální v částech 5B, 5C), permokarbonu východočeské křídly (9A, 9B), části moravského terciéru (3B, 3D, 3E), cenomanu severočeské křídly (6E) a cenomanu východočeské křídly (7B). Nikde se stav nezlepšil. Velmi výrazně se zvýšil podíl vrtů s mimořádně podnormální (32 %), silně podnormální (24 %) i mírně podnormální (18 %) hladinou. Velmi výrazně se naopak snížil podíl vrtů s normální (18 %) hladinou, snížil se také podíl vrtů se silně nadnormální (2 %) hladinou (Tab. 2.2.9).

K poklesu nebo velkému poklesu hladiny došlo u 6 % vrtů, stagnaci až mírný pokles zaznamenalo 80 % vrtů (Tab. 2.2.10).

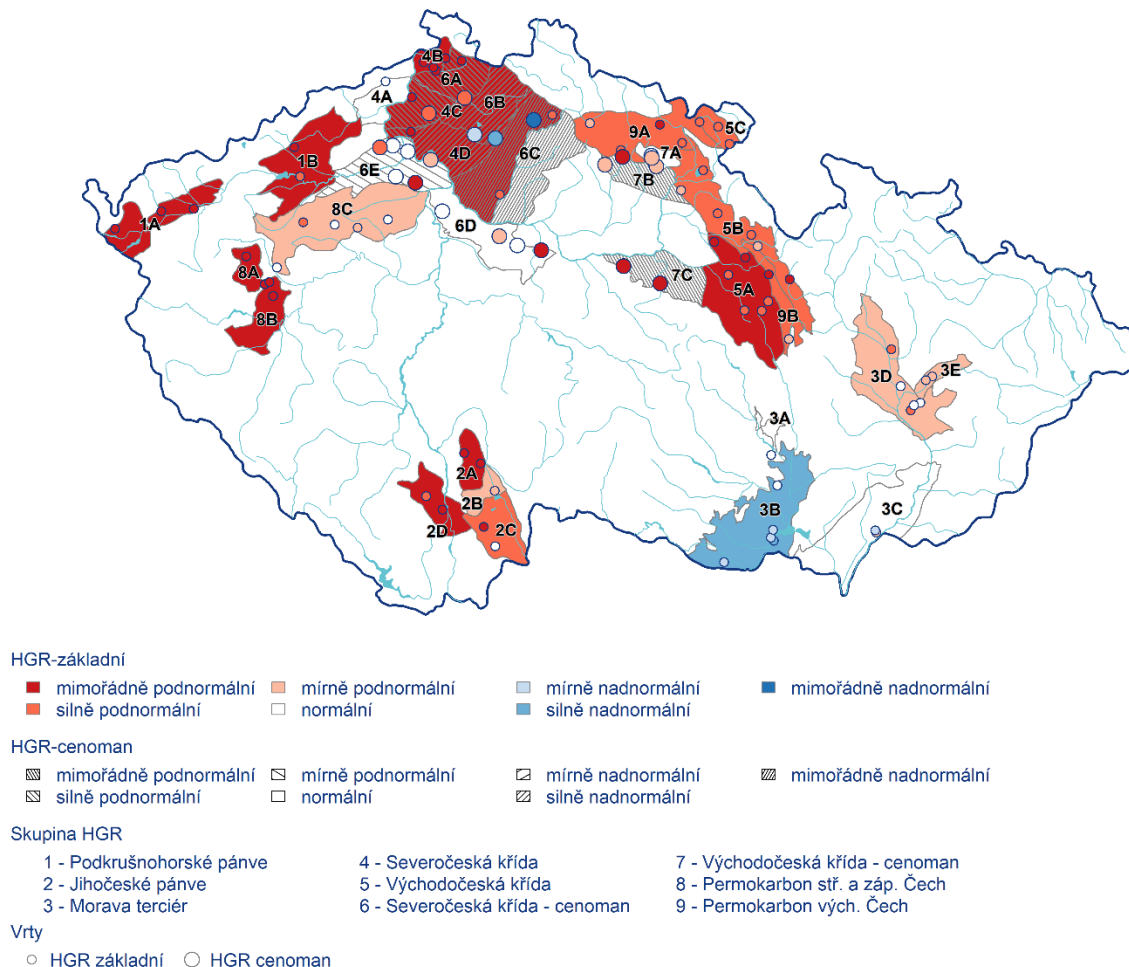
V meziročním porovnání se stejným měsícem minulého roku se zhoršil stav hladiny v celé ČR, srovnatelný je stav východočeské křídly a permokarbonu východočeské křídly. Pokles nebo velký pokles hladiny zaznamenalo 35 % vrtů, naopak vzestup nebo velký vzestup hladiny zaznamenala pouze 2 % vrtů (Tab. 2.2.11).

² Při interpretaci výsledků je třeba brát v úvahu, že hodnocení hlubokých zvodní je prováděno na menším počtu vrtů a často na kratších pozorovaných řadách, než vyhodnocování mělkých vrtů a pramenů. Většina hlubokých vrtů má sice pozorování od roku 1991, část z nich však jen od roku 2008.

Stav hladiny podzemní vody v hlubokých vrtech

Duben 2026

Český
hydrometeorologický
ústav



Obr. 2.2.3 Stav hladiny podzemní vody v hlubokých vrtech v dubnu 2026, vztaženo k referenčnímu období 1991–2020

Tab. 2.2.9 Stav hladiny v hlubokých vrtech v % počtu objektů

Povodí	Mimořádně podnormální hladina	Silně podnormální hladina	Mírně podnormální hladina	Normální hladina	Mírně nadnormální hladina	Silně nadnormální hladina	Mimořádně nadnormální hladina
ČR	32	24	18	18	5	2	1

Tab. 2.2.10 Porovnání hladiny v hlubokých vrtech s předchozím měsícem v % počtu objektů

Povodí	Velký pokles	Pokles	Stagnace až mírný pokles	Stagnace až mírný vzestup	Vzestup	Velký vzestup
ČR	3	3	80	12	1	0

Tab. 2.2.11 Porovnání hladiny v hlubokých vrtech se stejným měsícem předchozího roku v % počtu objektů

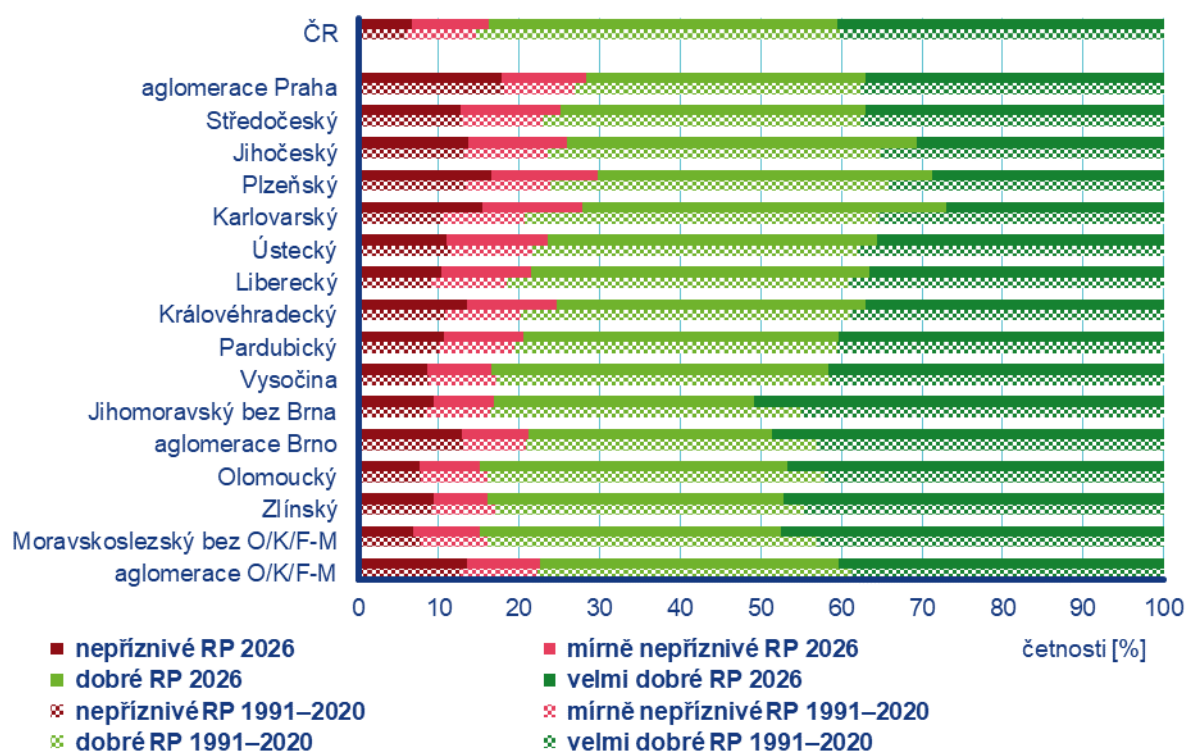
Povodí	Velký pokles	Pokles	Stagnace až mírný pokles	Stagnace až mírný vzestup	Vzestup	Velký vzestup
ČR	11	24	46	16	0	2

3 KVALITA OVZDUŠÍ

3.1 Rozptylové podmínky

V porovnání s 30letým průměrem 1991–2020 byly v dubnu standardní rozptylové podmínky (Obr. 3.1.1). Nejlepší dubnové rozptylové podmínky byly zaznamenány v roce 1995, naopak nejhorší v roce 1996. Velmi dobré rozptylové podmínky, vyjádřené pomocí ventilačního indexu³ pro celou ČR, byly zaznamenány ve 12 dnech, v porovnání s desetiletým průměrem se jedná o zlepšení o 0,3 %. Dobré rozptylové podmínky byly zaznamenány ve 13 dnech, mírně nepříznivé ve třech a nepříznivé ve dvou dnech.

V dubnu byly ve všech regionech zaznamenány standardní rozptylové podmínky, kromě Karlovarského a Plzeňského kraje. V Karlovarském kraji byly zaznamenány rozptylové podmínky na hranici výrazně horších a zhoršených, v Plzeňském kraji pak byly rozptylové podmínky zhoršené. Nejvíce velmi dobrých rozptylových podmínek (51 %) bylo zaznamenáno v Jihomoravském kraji bez aglomerace Brno, nejméně (27 %) v Karlovarském kraji. Nejvíce nepříznivých rozptylových podmínek (18 %) bylo zaznamenáno v aglomeraci Praha, nejméně (7 %) v Moravskoslezském kraji bez aglomerace O/K/F-M⁴.



Obr. 3.1.1 Skladba rozptylových podmínek v regionech České republiky, duben 2026

³ http://portal.chmi.cz/files/portal/docs/uoco/mes_zpravy/mesprehledy.html#ventindex

⁴ Aglomerace Ostrava/Karviná/Frýdek-Místek.

3.2 Suspendované částice PM₁₀

Překročení 24hod. imisního limitu PM₁₀ od počátku roku

Hodnota 24hod. imisního limitu PM₁₀ je 50 µg·m⁻³. Legislativa připouští na měřicí stanici nejvíce 35 překročení hodnoty imisního limitu, při vyšším počtu je imisní limit považován za překročený.

Během dubna došlo k překročení hodnoty imisního limitu na třech ze 117 stanic.

24hod. imisní limit PM₁₀ nebyl do konce dubna překročen na žádné stanici AIM s dostatečným množstvím dat pro hodnocení (Obr. 3.2.1).

Měsíční chod denních koncentrací PM₁₀

Průměrné 24hod. koncentrace PM₁₀ zprůměrované pro jednotlivé typy stanic nepřekračovaly během dubna hodnotu imisního limitu (50 µg·m⁻³) ani doporučenou hodnotu WHO⁵ (45 µg·m⁻³; Obr. 3.2.2)⁶.

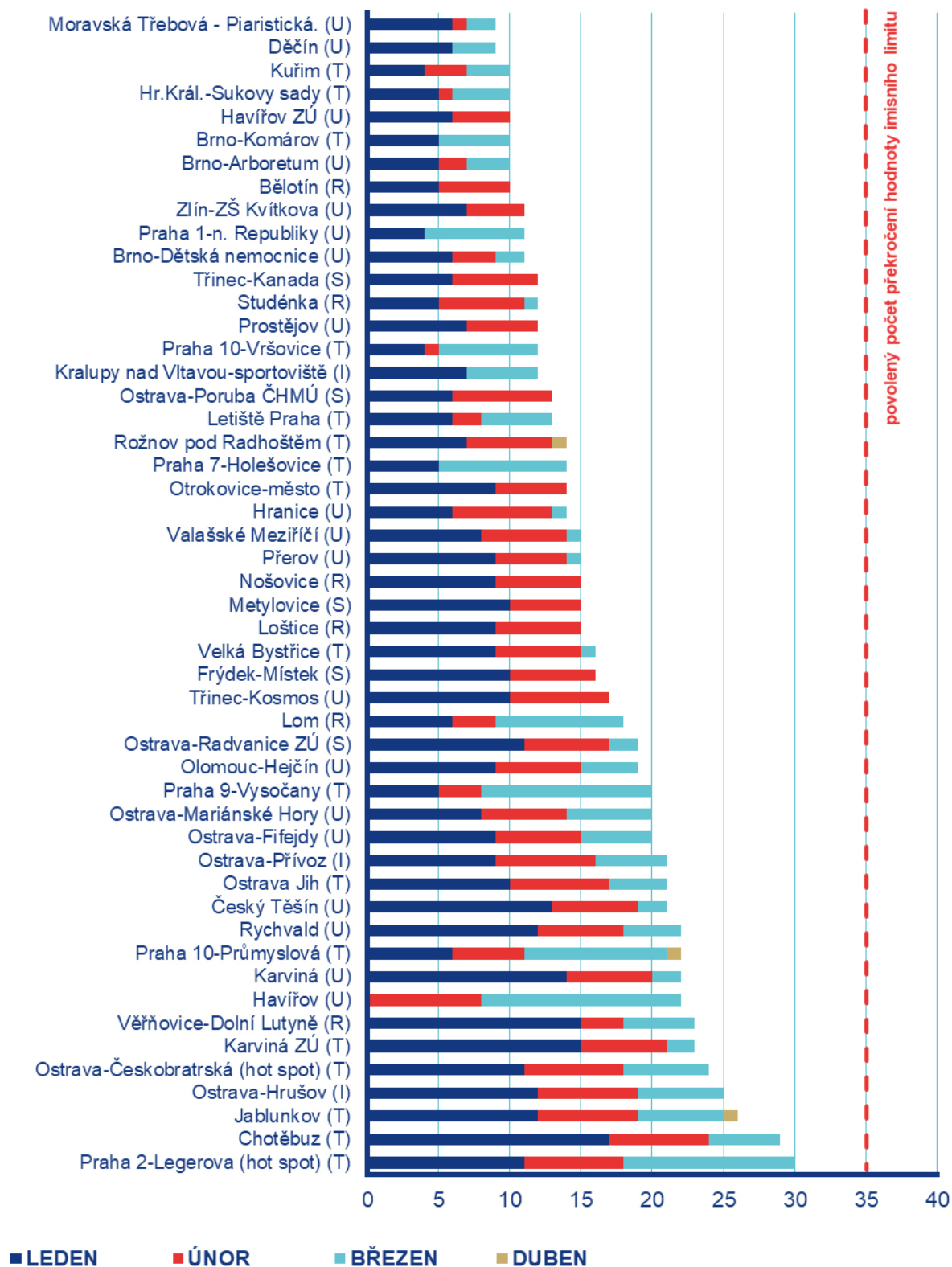
Vývoj denních koncentrací PM₁₀ má obdobný průběh jako denní koncentrace PM_{2,5}. Důvodem je podobná skladba emisních zdrojů obou látek a také významná závislost na meteorologických a rozptylových podmínkách.

Průměrné měsíční koncentrace PM₁₀

Celorepublikový měsíční průměr koncentrací PM₁₀ byl v dubnu pátý nejvyšší za období 2016–2026 (Obr. 3.2.3). V porovnání s desetiletým průměrem (2016–2025) byly průměrné koncentrace PM₁₀ o 8 % nižší.

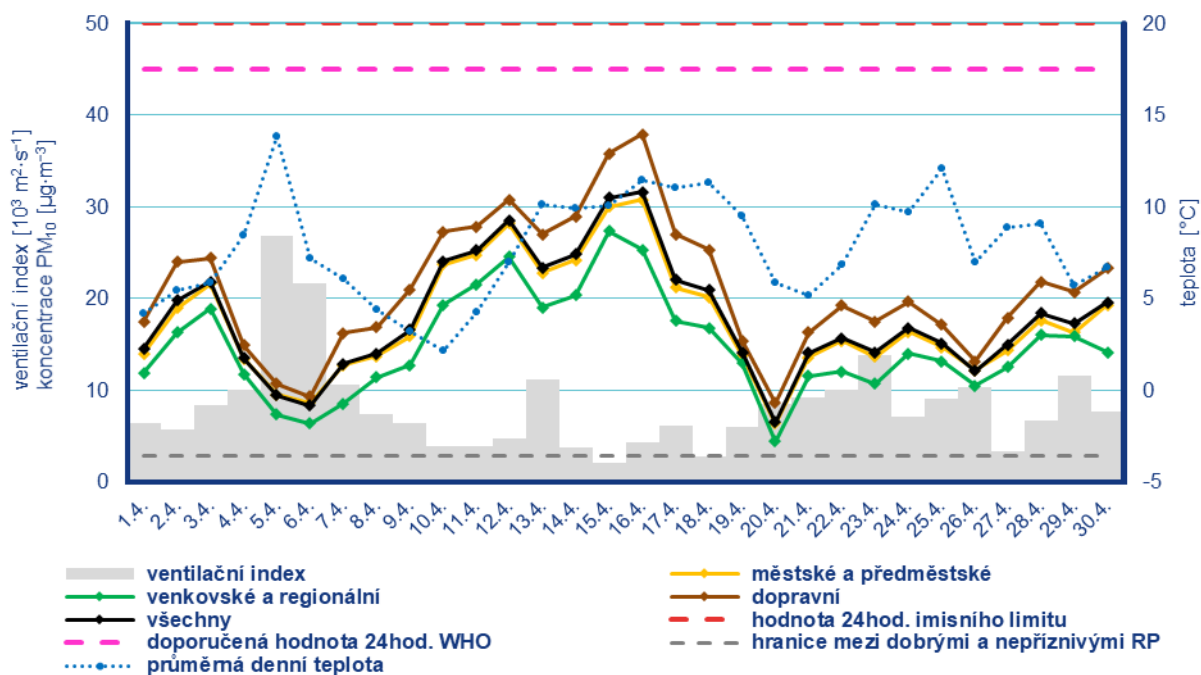
⁵ <https://iris.who.int/handle/10665/345329>

⁶ Průběh koncentrací je hodnocen pouze z meteorologického hlediska. Meteorologické a rozptylové podmínky jsou hlavním faktorem ovlivňujícím úroveň koncentrací. Mezi další faktory patří např. množství emisí či rozložení zdrojů emisí.



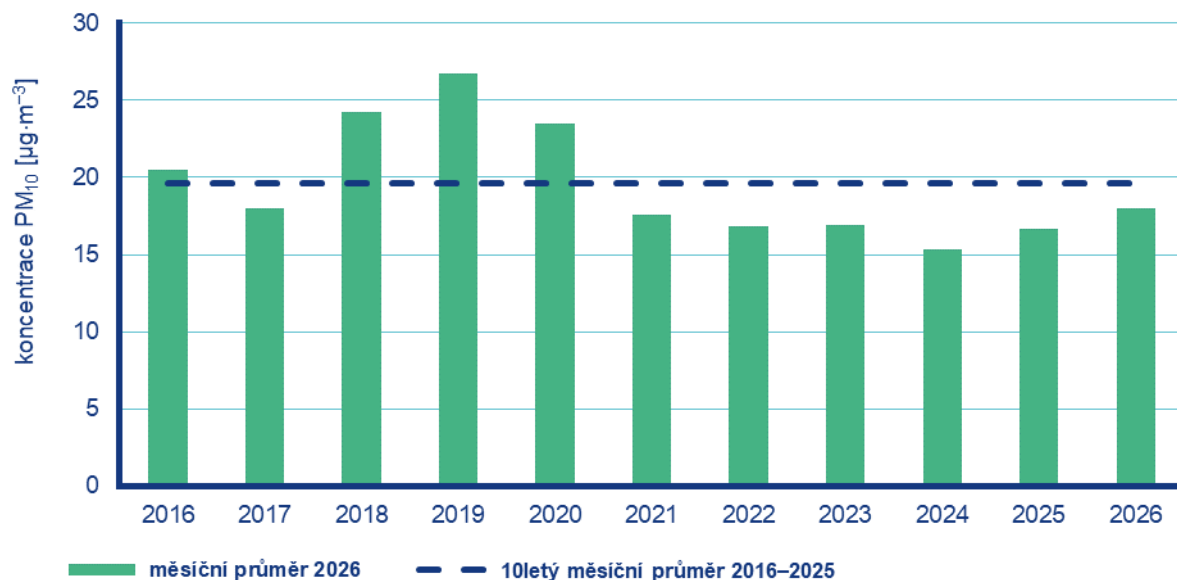
Poznámka: V grafu je uvedeno 50 nejhorších stanic bez ohledu na úplnost dat.

Obr. 3.2.1 Počet dnů, kdy průměrná denní koncentrace PM₁₀ překročila hodnotu 24hod. imisního limitu (50 µg·m⁻³) na stanicích AIM, 2026



Poznámka: Průmyslové stanice jsou umístěny převážně v Moravskoslezském kraji; z tohoto důvodu nejsou průmyslové stanice uvedeny v grafu celorepublikových průměrů.

Obr. 3.2.2 Vývoj průměrných denních koncentrací PM_{10} , celorepublikového průměru teploty vzduchu a celorepublikového průměru ventilačního indexu (model ALADIN), duben 2026



Obr. 3.2.3 Průměrné měsíční koncentrace PM_{10} v České republice, duben 2016–2026

3.3 Suspendované částice PM_{2,5}

Vzhledem k závažnosti vlivu suspendovaných částic na lidské zdraví jsou v této zprávě hodnoceny i koncentrace suspendovaných částic PM_{2,5}. V české legislativě mají koncentrace suspendovaných částic PM_{2,5} definován pouze roční imisní limit (20 µg·m⁻³), proto jsou v této zprávě krátkodobé koncentrace porovnávány vzhledem k doporučené hodnotě WHO pro ochranu lidského zdraví (15 µg·m⁻³, průměrná 24hodinová koncentrace).⁷

Překročení 24hod. doporučené hodnoty WHO pro PM_{2,5}

Doporučená hodnota WHO (15 µg·m⁻³) byla v dubnu překročena na 90 z 92 stanic (Obr. 3.3.1). Překročení doporučené hodnoty je vyjádřeno procentem dní, kdy byla na dané stanici průměrná denní koncentrace PM_{2,5} vyšší než doporučená hodnota WHO.

Měsíční chod denních koncentrací PM_{2,5}

Průměrné denní koncentrace PM_{2,5} zprůměrované pro jednotlivé typy stanic v dubnu překračovaly doporučenou hodnotou WHO (Obr. 3.3.2)⁸.

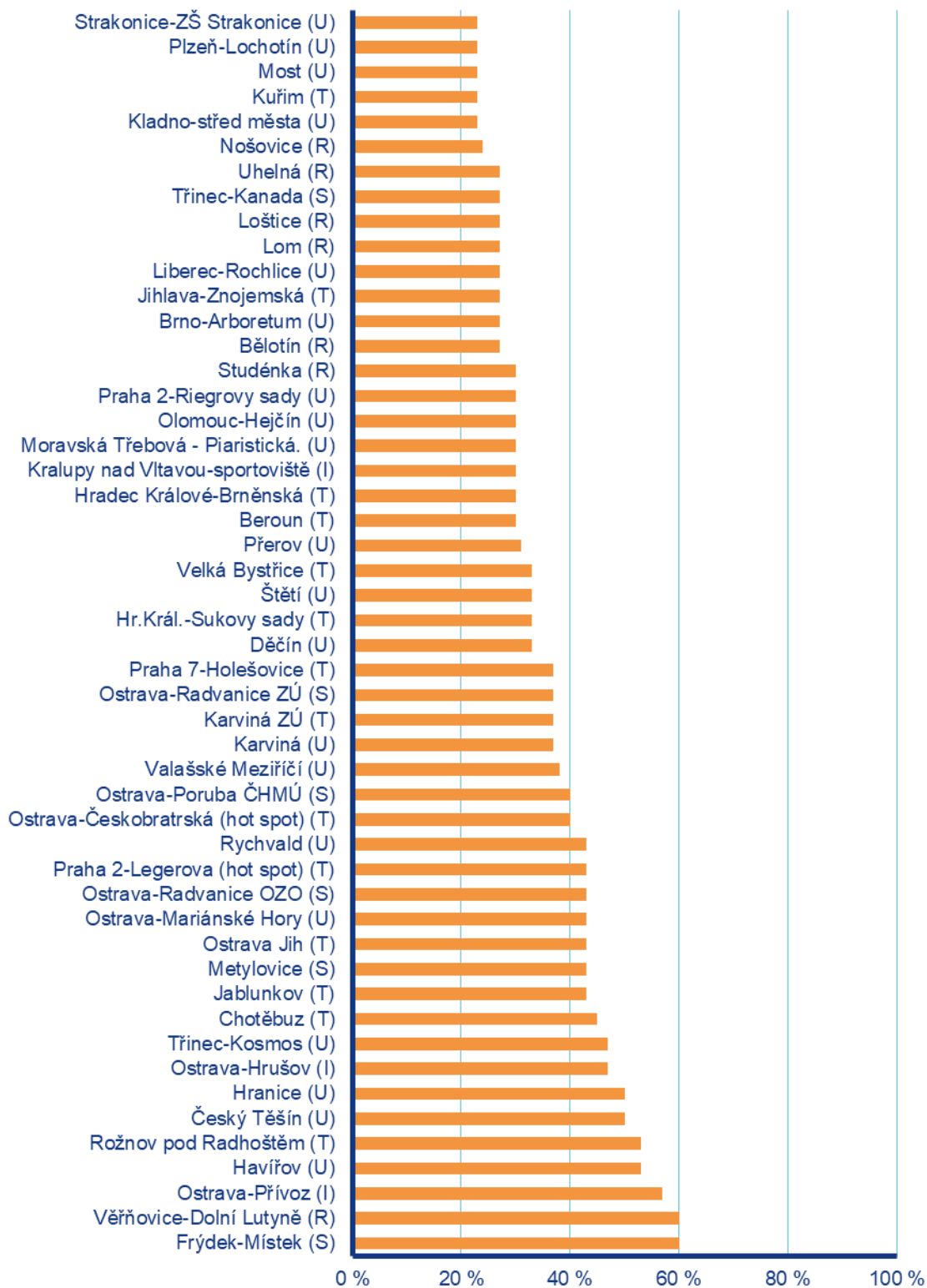
Na začátku první dubnové dekády ovlivňoval počasí v ČR výběžek vyššího tlaku vzduchu, ve kterém vystoupaly koncentrace PM_{2,5} zprůměrované pro všechny typy stanic nad doporučenou hodnotu WHO. V následujících dnech přecházela přes ČR studená fronta provázená slabou srážkovou činností a poklesem koncentrací na třetinu doporučené hodnoty. Po většinu druhé dubnové dekády se pak koncentrace pohybovaly nad doporučenou hodnotou, zejména v souvislosti s oblastí vyššího tlaku vzduchu nad střední Evropou, která přinesla stabilní počasí s přílivem teplého vzduchu od jihu. Na konci druhé dekády přešla přes ČR studená fronta provázená ochlazením a srážkovou činností, což zapříčinilo pokles koncentrací hluboko pod doporučenou hodnotu. Příliv studeného a vlhkého vzduchu pokračoval i během třetí dubnové dekády, přičemž koncentrace se stále pohybovaly pod doporučenou hodnotou. K opětovnému překročení doporučené hodnoty pak došlo až v samotném závěru měsíce, kdy se tlaková výše přesunula do střední Evropy a přinesla s sebou stabilní ráz počasí.

Průměrné měsíční koncentrace PM_{2,5}

Celorepublikový měsíční průměr koncentrací PM_{2,5} byl v dubnu nejnižší za období 2016–2026 (Obr. 3.3.3). V porovnání s desetiletým průměrem (2016–2025) byly průměrné koncentrace PM_{2,5} o 37 % nižší.

⁷ <https://iris.who.int/handle/10665/345329>

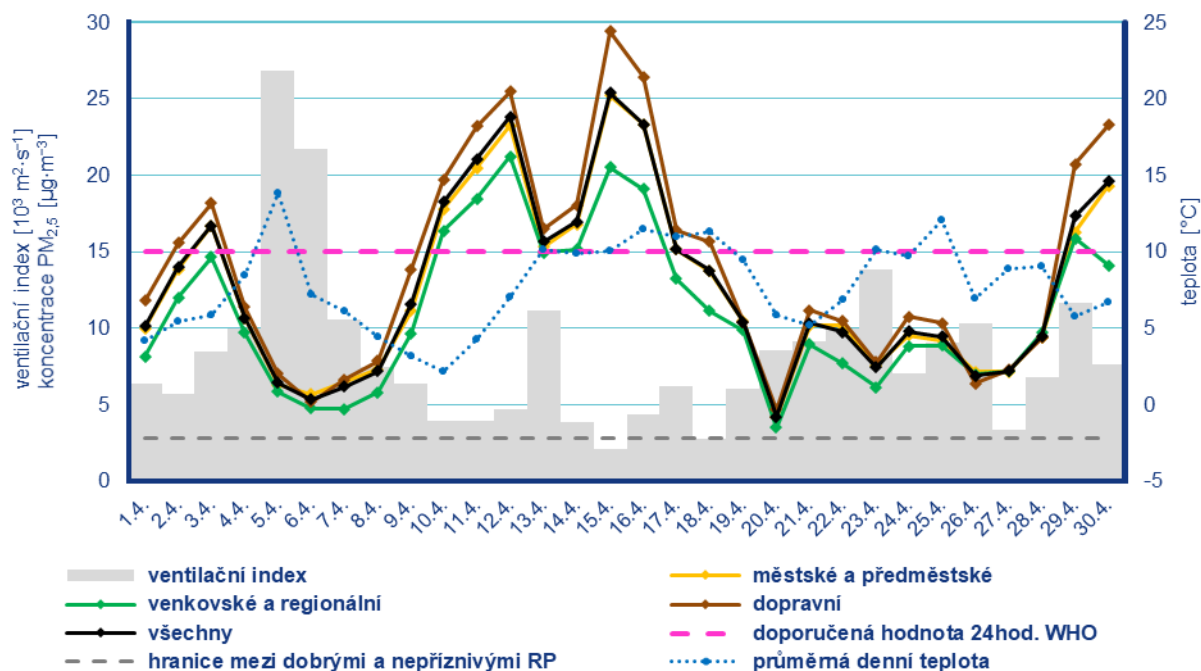
⁸ Průběh koncentrací je hodnocen pouze z meteorologického hlediska. Meteorologické a rozptylové podmínky jsou hlavním faktorem ovlivňujícím hodnoty koncentrací. Mezi další faktory patří např. množství emisí či rozložení zdrojů emisí.



■ procento překročení doporučené hodnoty WHO $15 \mu\text{g}\cdot\text{m}^{-3}$

Poznámka: V grafu je uvedeno 50 nejhorších stanic bez ohledu na úplnost dat.

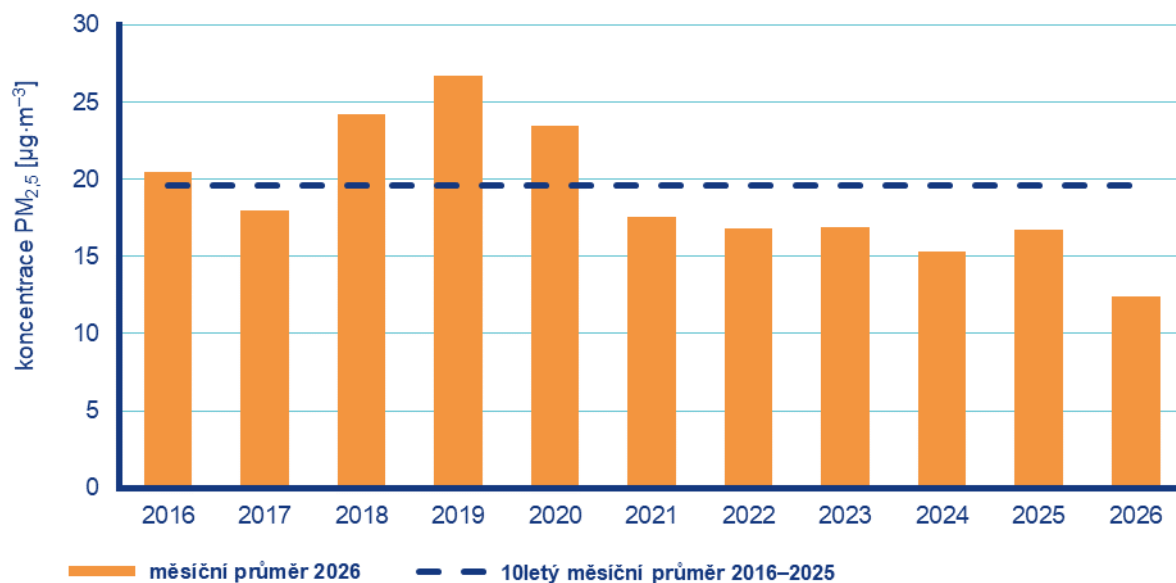
Obr. 3.3.1 Procento dní s překročením doporučené hodnoty WHO ($15 \mu\text{g}\cdot\text{m}^{-3}$) pro průměrnou 24hodinovou koncentraci $\text{PM}_{2.5}$, duben 2026



Poznámka: Průmyslové stanice jsou umístěny převážně v Moravskoslezském kraji; z tohoto důvodu nejsou průmyslové stanice uvedeny v grafu celorepublikových průměrů.

DRP = dobré rozptylové podmínky, MNRP = mírně nepříznivé rozptylové podmínky, NRP = nepříznivé rozptylové podmínky

Obr. 3.3.2 Vývoj průměrných denních koncentrací PM_{2.5}, celorepublikového průměru teploty vzduchu a celorepublikového průměru ventilačního indexu (model ALADIN), duben 2026



Obr. 3.3.3 Průměrné měsíční koncentrace PM_{2.5} v České republice, duben 2016–2026

3.4 Přízemní ozon O₃

Překročení imisního limitu pro maximální denní 8hod. průměr O₃ od počátku roku

Hodnota imisního limitu pro denní maximum klouzavého 8hodinového průměru O₃ je 120 µg·m⁻³. Legislativa připouští na měřicí stanici nejvíce 25 překročení hodnoty imisního limitu O₃ v průměru za tři roky; při vyšším počtu je imisní limit považován za překročený.

Během dubna došlo k překročení hodnoty imisního limitu na dvou z 64 stanic.

Imisní limit pro max. denní 8hod. průměr nebyl do konce dubna překročen na žádné stanici AIM (Obr. 3.4.1).

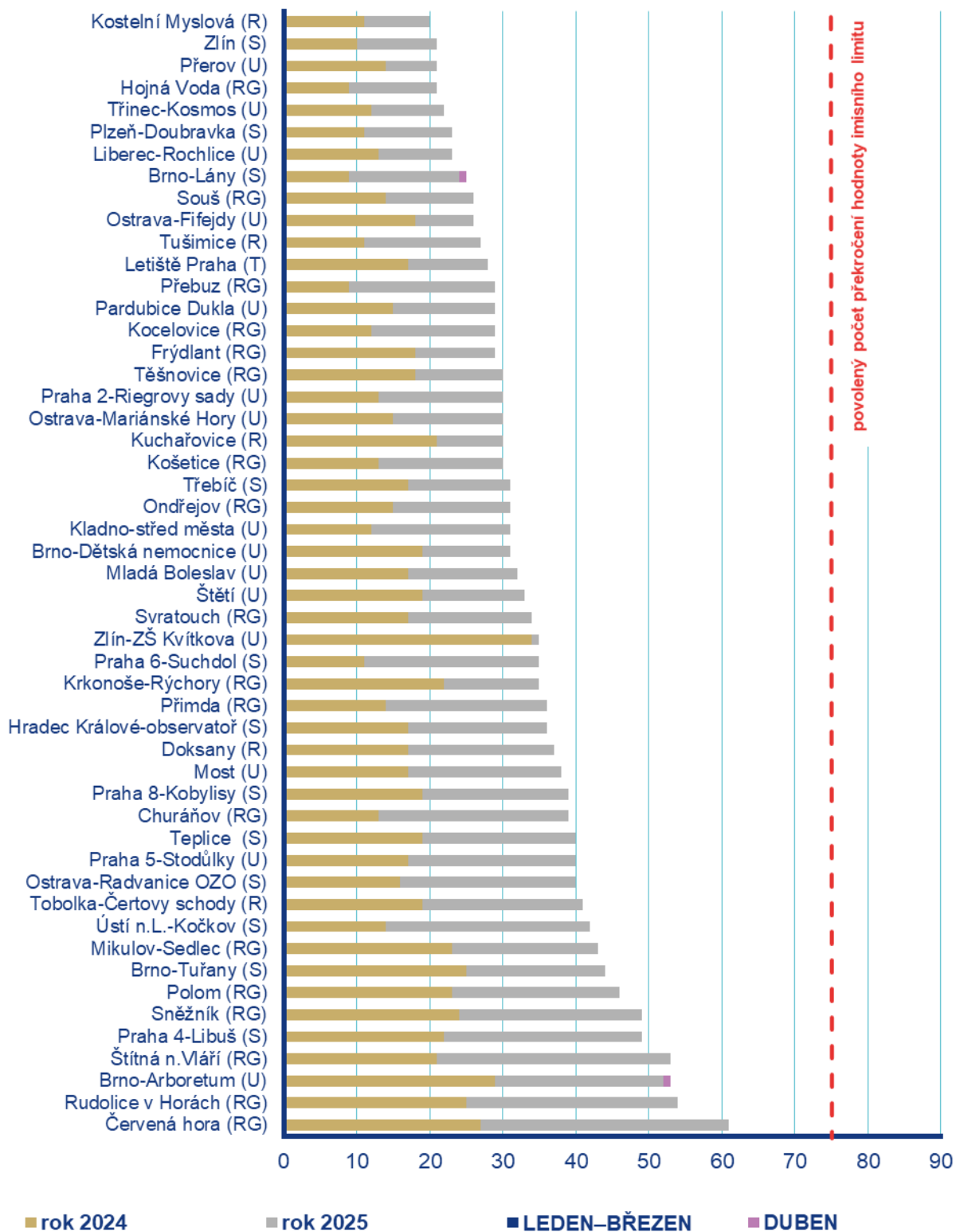
Měsíční chod maximálních denních 8hodinových koncentrací O₃

Maximální denní 8hodinové koncentrace O₃ zprůměrované pro jednotlivé typy stanic v dubnu nepřekročily hodnotu imisního limitu (120 µg·m⁻³). K překročení doporučené hodnoty WHO (100 µg·m⁻³) docházelo v dubnu na všech typech stanic, kromě dopravních (Obr. 3.4.2).

Po celou první polovinu měsíce koncentrace O₃ nejen nepřekračovaly hodnotu imisního limitu, ale nedošlo ani k překročení doporučené hodnoty WHO. Poté se za studenou frontou začala nad střední Evropou udržovat oblast vyššího tlaku vzduchu a ve stabilním počasí koncentrace vystoupaly nad doporučenou hodnotu. Na konci druhé dekády k nám začal kolem tlakové výše nad Britskými ostrovy proudit studený vzduch a v chladném počasí za přítomnosti srážek koncentrace dočasně poklesly. Třetí dekáda byla ve znamení vlivu mohutné tlakové výše u Britských ostrovů a koncentrace se v chladném a stabilním počasí pohybovaly kolem doporučené hodnoty.

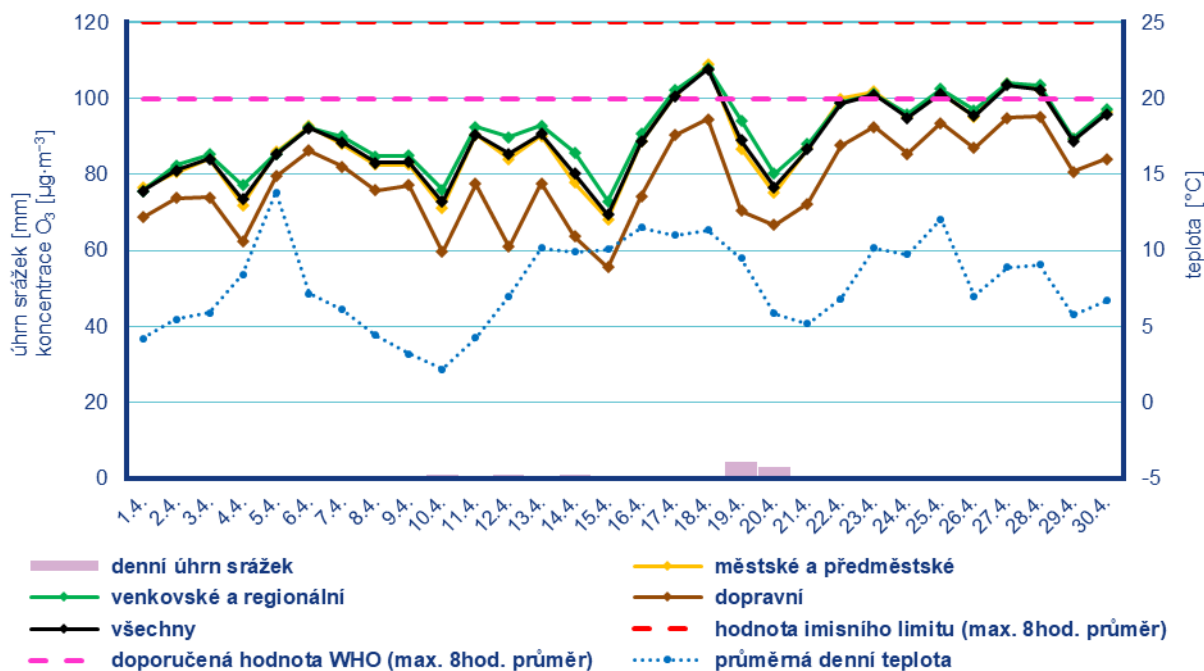
Průměrné měsíční koncentrace O₃

Celorepublikový měsíční průměr max. 8hod. koncentrací O₃ byl v dubnu nejnižší za období 2016–2026 (Obr. 3.4.3). V porovnání s desetiletým průměrem (2016–2025) byly průměrné koncentrace O₃ o 9 % nižší.



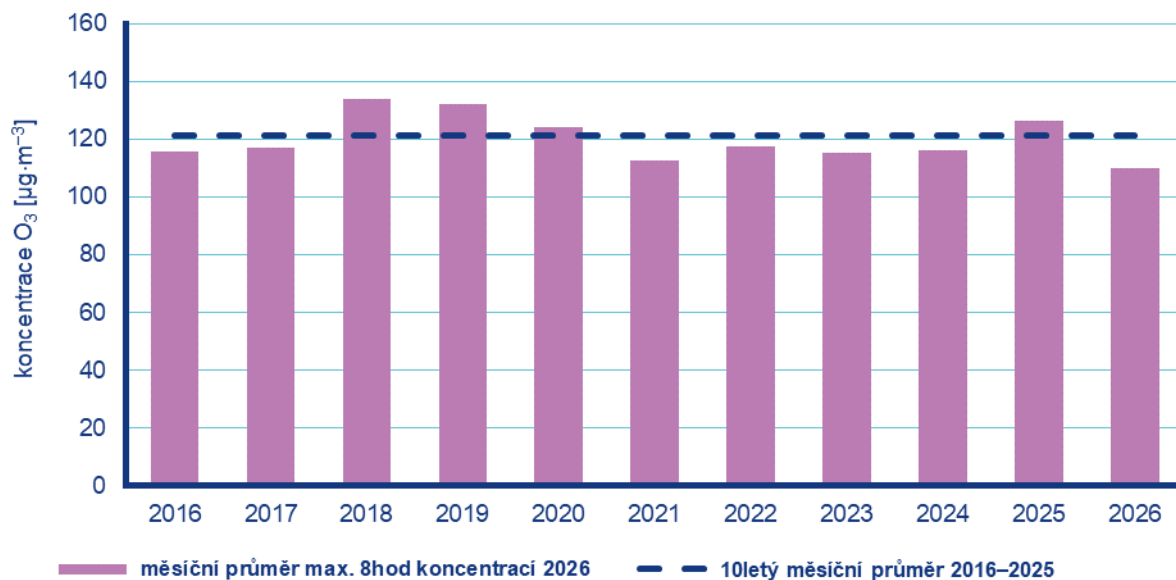
Poznámka: V grafu je uvedeno 50 nejhorších stanic bez ohledu na úplnost dat.

Obr. 3.4.1 Počet dnů, kdy maximální denní 8hodinová koncentrace O₃ překročila hodnotu imisního limitu (120 µg·m⁻³) na stanicích AIM, 2026



Poznámka: Průmyslové stanice jsou umístěny převážně v Moravskoslezském kraji; z tohoto důvodu nejsou průmyslové stanice uvedeny v grafu celorepublikových průměrů.

Obr. 3.4.2 Vývoj průměrných maximálních denních 8hod. koncentrací O_3 , celorepublikového průměru teploty vzduchu a úhrnu srážek, duben 2026



Obr. 3.4.3 Průměrné měsíční 8hod. maximální koncentrace O_3 v České republice, duben 2016–2026

3.5 Ostatní látky

Oxid dusičitý NO₂

Hodnota hodinového imisního limitu NO₂ je 200 µg·m⁻³. Legislativa připouští na měřicí stanici nejvíce 18 překročení hodnoty imisního limitu, při vyšším počtu je imisní limit považován za překročený. Vzhledem k závažnosti vlivu NO₂ na lidské zdraví jsou v této zprávě hodnoceny krátkodobé koncentrace nejen vzhledem k imisnímu limitu, ale i vzhledem k doporučené hodnotě WHO pro ochranu lidského zdraví (25 µg·m⁻³, průměrná 24hodinová koncentrace).⁹

Hodnota hodinového imisního limitu pro NO₂ nebyla v dubnu překročena na žádné z 91 stanic.

Doporučená hodnota WHO byla v dubnu překročena na 24 stanicích z 87 (Obr. 3.5.1). Překročení doporučené hodnoty je vyjádřeno procentem dní, kdy byla na dané stanici průměrná denní koncentrace NO₂ vyšší než doporučená hodnota WHO.

Celorepublikový měsíční průměr koncentrací NO₂ byl v dubnu třetí nejnižší za období 2016–2026. V porovnání s desetiletým průměrem (2016–2025) byly průměrné koncentrace NO₂ o 16 % nižší.

Oxid siřičitý SO₂

Hodnota hodinového imisního limitu SO₂ je 350 µg·m⁻³, hodnota 24hod. imisního limitu je 125 µg·m⁻³. Legislativa připouští na měřicí stanici nejvíce 24, resp. 3 překročení hodnoty imisního limitu, při vyšším počtu je imisní limit považován za překročený.

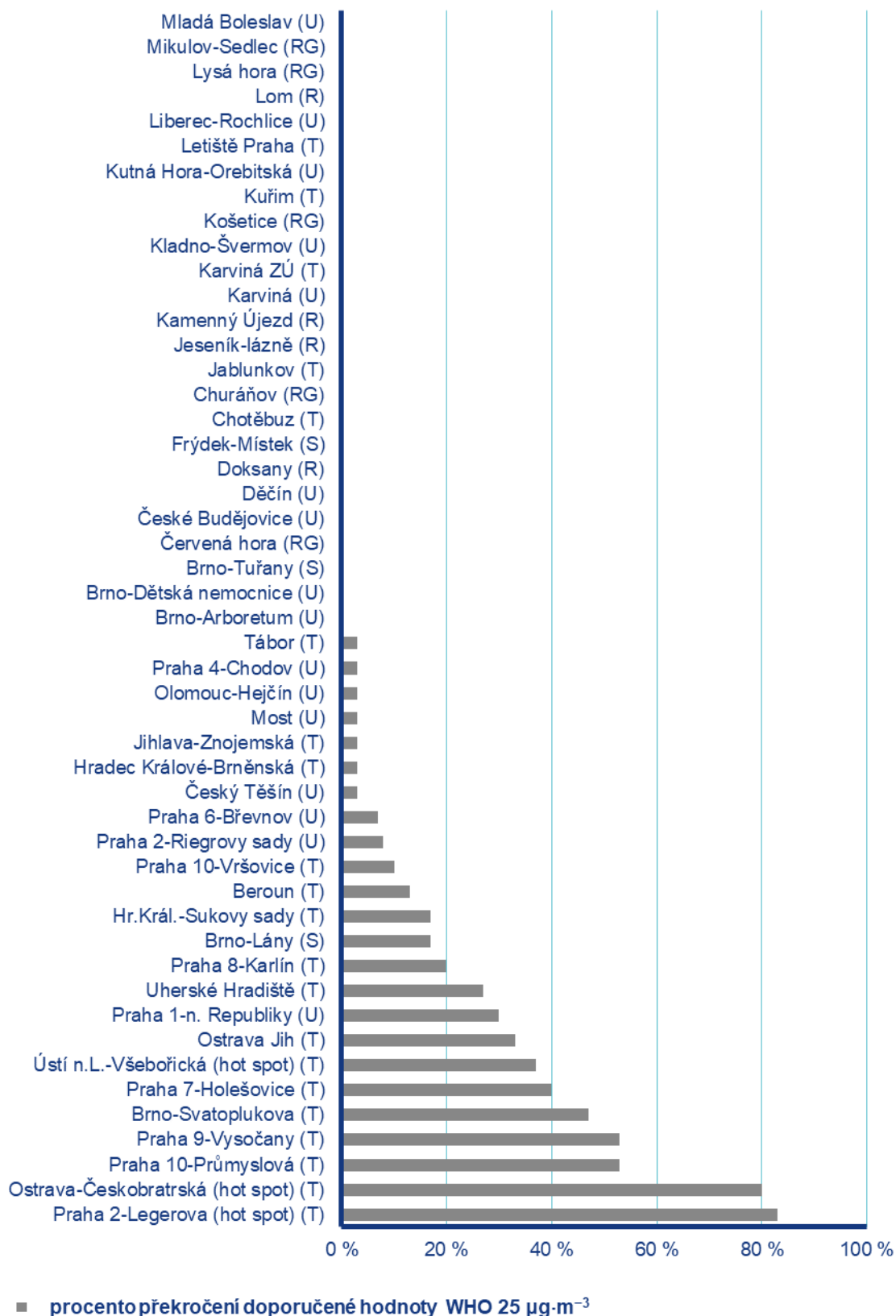
Hodnoty hodinového ani 24hod. imisního limitu pro SO₂ nebyly v dubnu překročeny na žádné ze 48 stanic.

Celorepublikový měsíční průměr koncentrací SO₂ byl v dubnu druhý nejnižší za období 2016–2026. V porovnání s desetiletým průměrem (2016–2025) byly průměrné koncentrace SO₂ o 21 % nižší.

Oxid uhelnatý CO

Denní maximum 8hodinových koncentrací oxidu uhelnatého (CO) nepřekročily v dubnu 2026 hodnotu svého imisního limitu.

⁹ <https://iris.who.int/handle/10665/345329>



Poznámka: V grafu je uvedeno 50 nejhorších stanic bez ohledu na úplnost dat.

Obr. 3.5.1 Procento dní s překročením doporučené hodnoty WHO ($25 \mu\text{g}\cdot\text{m}^{-3}$) pro průměrnou 24hodinovou koncentraci NO_2 , duben 2026

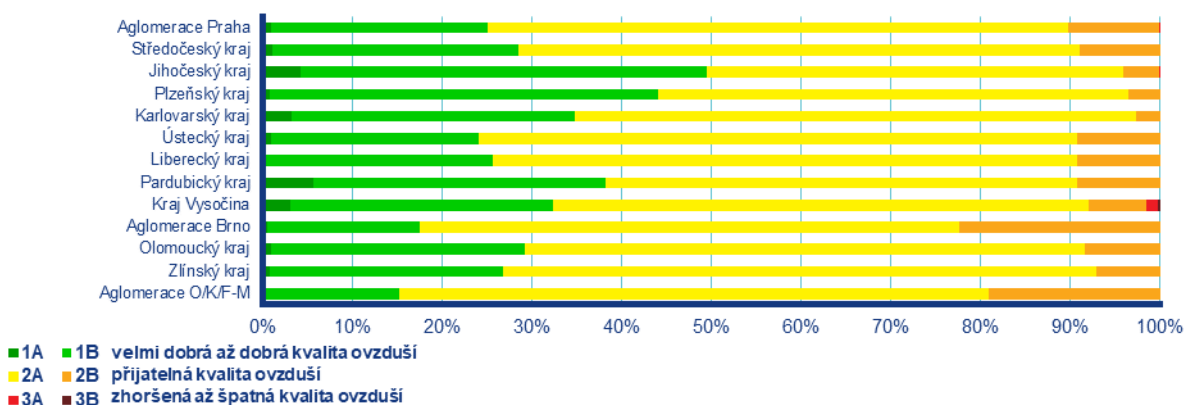
3.6 Index kvality ovzduší

Podmínkou výpočtu indexu kvality ovzduší na dané lokalitě je v zimním období (1. 10. – 31. 3.) měření PM_{10} na dané lokalitě, v letním období (1. 4. – 30. 9.) měření PM_{10} nebo O_3 . Na stanicích, na kterých nejsou tyto veličiny standardně měřeny, se pro výpočet využívají data z aktuálních map (modelů) příslušných veličin¹⁰. Vzhledem k přerušení výpočtu modelů aktuálních map znečištění ovzduší z technických důvodů, jsou v dubnu k dispozici hodnoty indexu kvality ovzduší pouze pro stanice, na kterých se požadované veličiny měří standardně. Celkem se jedná o 30 městských a předměstských stanic a 10 venkovských stanic.

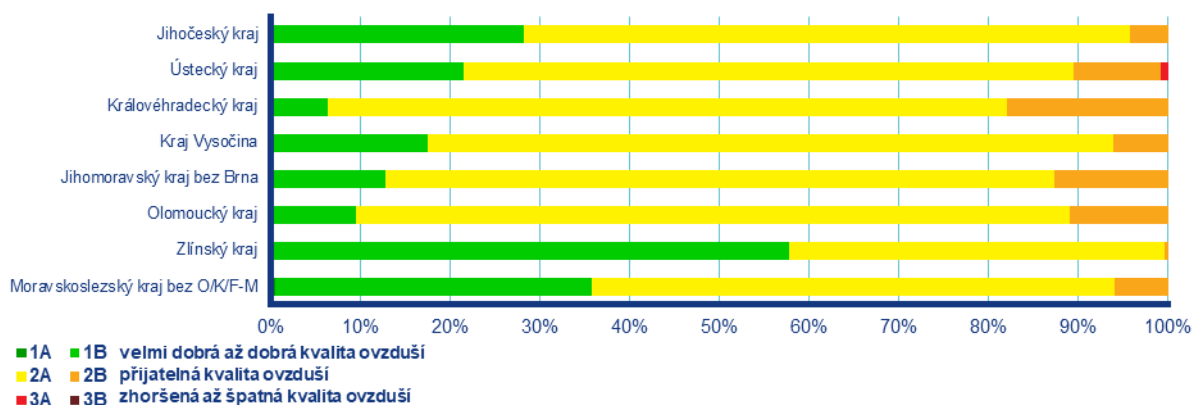
Během dubna byla na měřicích stanicích převážně přijatelná kvalita ovzduší¹¹.

Na městských a předměstských stanicích se velmi dobrá až dobrá kvalita ovzduší vyskytovala nejčastěji v Jihočeském kraji (49 %), naopak nejméně často v aglomeraci O/K/F-M (15 %; Obr. 3.6.1). Zhoršená až špatná kvalita ovzduší se vyskytovala v Kraji Vysočina, v Jihočeském kraji a v aglomeraci Praha.

Na venkovských stanicích¹² se velmi dobrá až dobrá kvalita ovzduší vyskytovala nejčastěji ve Zlínském kraji (58 %), naopak nejméně často v Královéhradeckém kraji (6 %; Obr. 3.6.2). Zhoršená až špatná kvalita ovzduší se vyskytovala v Ústeckém kraji.



Obr. 3.6.1 Skladba indexu kvality ovzduší na městských a předměstských požadových stanicích, duben 2026



Obr. 3.6.2 Skladba indexu kvality ovzduší na venkovských požadových stanicích, duben 2026

¹⁰ <https://www.chmi.cz/namerena-data/data-z-mericich-panic/pm10-hodinovy-prumer>

¹¹ http://portal.chmi.cz/files/portal/docs/uoco/web_generator/actual_3hour_data_CZ.html

¹² Pro venkovské stanice není ve všech krajích a aglomeracích k dispozici dostatek dat pro hodnocení.

3.7 Smogový a varovný regulační systém

V dubnu nebyly vyhlášeny žádné smogové situace. Prahové hodnoty PM₁₀, NO₂, SO₂ a O₃ pro vyhlášení smogové situace či smogová situace s regulací/varováním nebyly překročeny na žádné lokalitě SVRS.

Kontakty

Mgr. Josef Hanzlík, e-mail: josef.hanzlik@chmi.cz
vedoucí oddělení Operativní služby
tel.: 244 032 761

RNDr. Lenka Crhová, Ph.D., e-mail: lenka.crhova@chmi.cz
vedoucí oddělení Všeobecné klimatologie
tel.: 244 032 250

RNDr. Radek Čekal, Ph.D., e-mail: radek.cekal@chmi.cz
vedoucí oddělení Hydrologických předpovědí
tel.: 244 032 356

doc. Dr. Ing. Martin Možný, e-mail: martin.mozny@chmi.cz
vedoucí oddělení Biometeorologických aplikací
tel.: 244 032 206

Ing. Václav Novák, e-mail: vaclav.novak@chmi.cz
vedoucí oddělení Informační systém kvality ovzduší (hodnocení kvality ovzduší)
tel.: 244 032 402

Mgr. Ondřej Vlček, e-mail: ondrej.vlcek@chmi.cz
vedoucí oddělení Modelování a expertíz (SVRS)
tel.: 244 032 488

Hana Stehlíková, DiS.
vedoucí oddělení tiskového a informačního
e-mail: info@chmi.cz
tel.: 244 032 722
www.chmi.cz